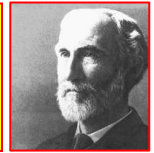




Riepilogo sulla Meccanica Statistica Classica di Boltzmann-Gibbs (BG)



Media di Ensemble

$$\langle f \rangle \equiv \frac{\int d^{3N}p d^{3N}q f(p, q) \rho(p, q)}{\int d^{3N}p d^{3N}q \rho(p, q)}$$

Ensemble Canonico

(T, V, N fissati)

Funzione di Partizione:

$$Q_N(V, T) \equiv \int \frac{d^{3N}p d^{3N}q}{N! h^{3N}} e^{-\beta \mathcal{H}(p, q)}$$

Densità di Ensemble:

$$\rho(p, q) = e^{-\mathcal{H}(p, q)/kT}$$

Energia Libera:

$$A(V, T) = -\beta^{-1} \log Q_N(V, T)$$

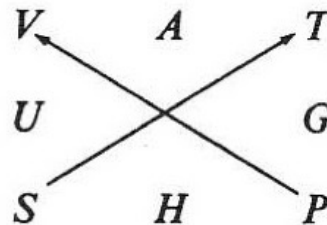
Ensemble Microcanonico

(E, V, N fissati; equiprobabilità dei microstati)

Funzione di Partizione: $\Gamma(E) \equiv \int_{E < \mathcal{H}(p, q) < E + \Delta} d^{3N}p d^{3N}q$

Densità di Ensemble: $\rho(p, q) = \text{costante}$

Entropia: $S(E, V) \equiv k \log \Gamma(E)$



Ensemble GranCanonico

($z = e^{\beta\mu}$, V, T fissati)

Funzione di Partizione:

$$\mathcal{Z}(z, V, T) \equiv \sum_{N=0}^{\infty} z^N Q_N(V, T)$$

Densità di Ensemble:

$$\rho(p, q, N) = \frac{z^N}{N! h^{3N}} e^{-\beta PV - \beta \mathcal{H}(p, q)}$$

Energia Libera:

$$A(\bar{N}, V, T) = kT \bar{N} \log z - kT \log \mathcal{Z}(z, V, T)$$

Applicazioni: il modello HMF

L'**Hamiltonian Mean Field (HMF) model** è un modello XY a rotatori planari (equivalenti a pendoli rigidi accoppiati, di massa e modulo unitari) con interazione a range infinito, definito dalla seguente hamiltoniana classica nelle N coppie di variabili canoniche $\{\theta_i, p_i\}$:

N gradi di libertà



M. Antoni

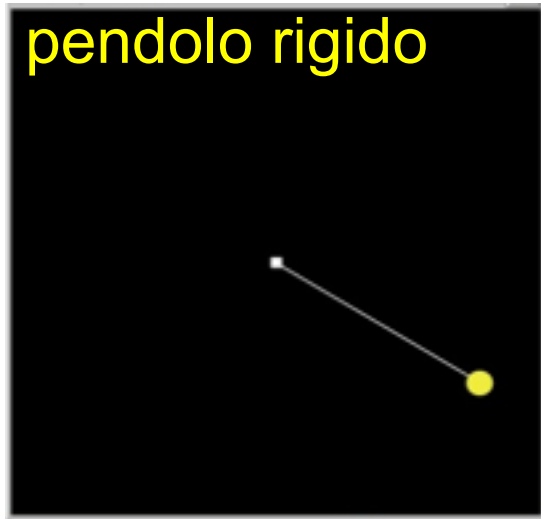
$$H = K + V = \sum_{i=1}^N \frac{p_i^2}{2} + \frac{1}{2N} \sum_{i,j=1}^N [1 - \cos(\mathcal{G}_i - \mathcal{G}_j)]$$



S. Ruffo

Antoni and Ruffo PRE 52 (1995) 2361

pendolo rigido



1 grado di libertà

Se $m=g=L=1$:

$$H = \frac{p_\theta^2}{2} + (1 - \cos \theta)$$

Applicazioni: il modello HMF

L'Hamiltonian Mean Field (HMF) model è un modello XY a rotatori planari (equivalenti a pendoli rigidi accoppiati, di massa e modulo unitari) con interazione a range infinito, definito dalla seguente hamiltoniana classica nelle N coppie di variabili canoniche $\{\theta_i, p_i\}$:

N gradi di libertà



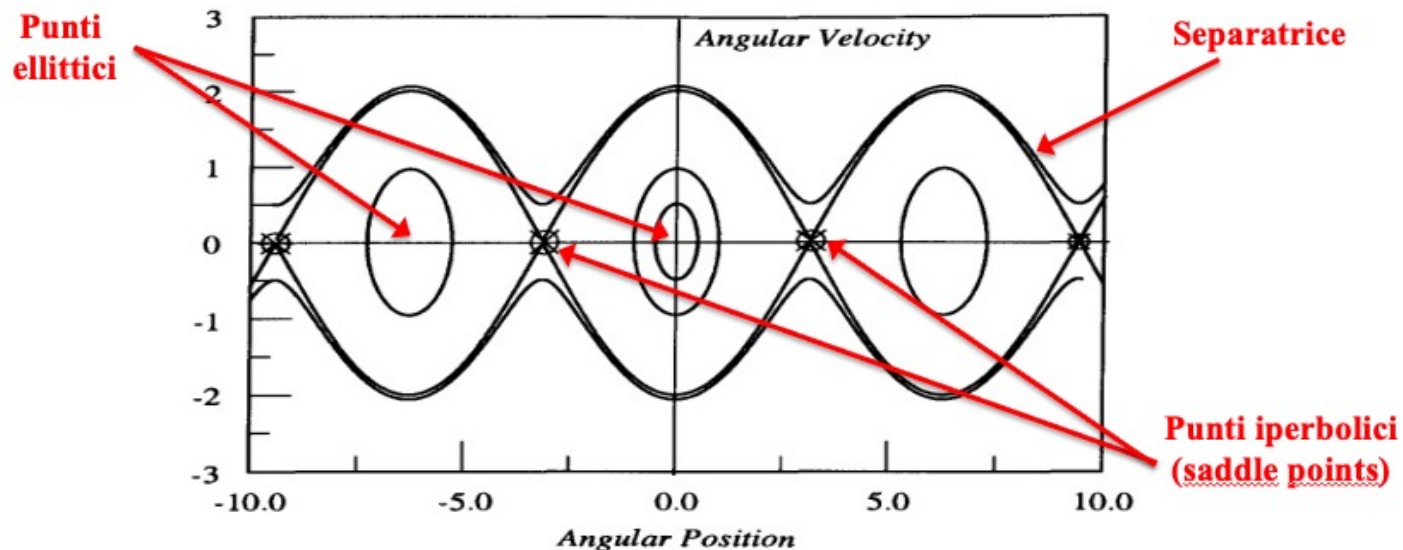
M. Antoni

$$H = K + V = \sum_{i=1}^N \frac{p_i^2}{2} + \frac{1}{2N} \sum_{i,j=1}^N [1 - \cos(\mathcal{G}_i - \mathcal{G}_j)]$$



S. Ruffo

Antoni and Ruffo PRE 52 (1995) 2361



Applicazioni: il modello HMF

L'**Hamiltonian Mean Field (HMF) model** è un modello XY a rotatori planari (equivalenti a pendoli rigidi accoppiati, di massa e modulo unitari) con interazione a range infinito, definito dalla seguente hamiltoniana classica nelle N coppie di variabili canoniche $\{\theta_i, p_i\}$:

N gradi di libertà

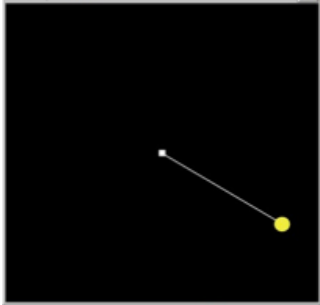


M. Antoni

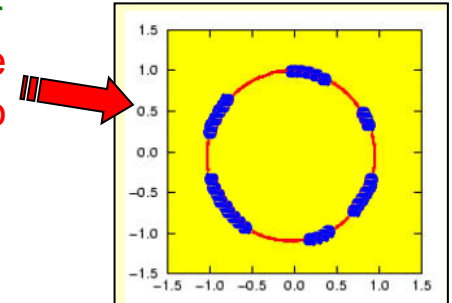
$$H = K + V = \sum_{i=1}^N \frac{p_i^2}{2} + \frac{1}{2N} \sum_{i,j=1}^N [1 - \cos(\mathcal{G}_i - \mathcal{G}_j)]$$



S. Ruffo



Generalizzando il pendolo rigido, il modello HMF può essere visto come un sistema di **particelle completamente interagenti (mean field) in moto senza collisioni su un cerchio unitario...**



Applicazioni: il modello HMF

L'Hamiltonian Mean Field (HMF) model è un modello XY a rotatori planari (equivalenti a pendoli rigidi accoppiati, di massa e modulo unitari) con interazione a range infinito, definito dalla seguente hamiltoniana classica nelle N coppie di variabili canoniche $\{\theta_i, p_i\}$:

N gradi di libertà



M. Antoni

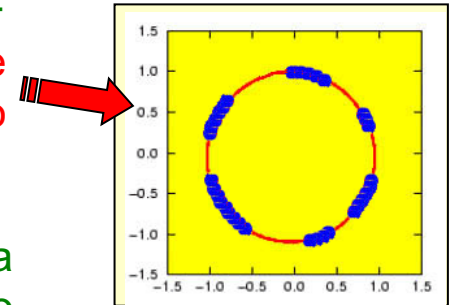
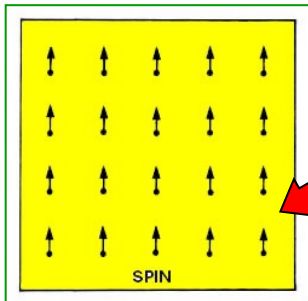
$$H = K + V = \sum_{i=1}^N \frac{p_i^2}{2} + \frac{1}{2N} \sum_{i,j=1}^N [1 - \cos(\mathcal{G}_i - \mathcal{G}_j)]$$



S. Ruffo

Generalizzando il pendolo rigido, il modello HMF può essere visto come un sistema di **particelle completamente interagenti (mean field) in moto senza collisioni su un cerchio unitario...**

...oppure, facendo corrispondere ad ogni particella la punta di una freccia, può essere interpretato anche come un **reticolo di spin accoppiati**.



L'importanza di HMF sta nel fatto che il suo comportamento sembra essere **paradigmatico di una ampia classe di sistemi con interazioni a lungo range**, come per esempio sistemi nucleari o astrofisici (self-gravitating systems), e riveste un interesse particolare per lo studio della multiframmentazione e dei clusters atomici.

Applicazioni: il modello HMF

L'Hamiltonian Mean Field (HMF) model è un modello XY a rotatori planari (equivalenti a pendoli rigidi accoppiati, di massa e modulo unitari) con interazione a range infinito, definito dalla seguente hamiltoniana classica nelle N coppie di variabili canoniche $\{\theta_i, p_i\}$:

N gradi di libertà



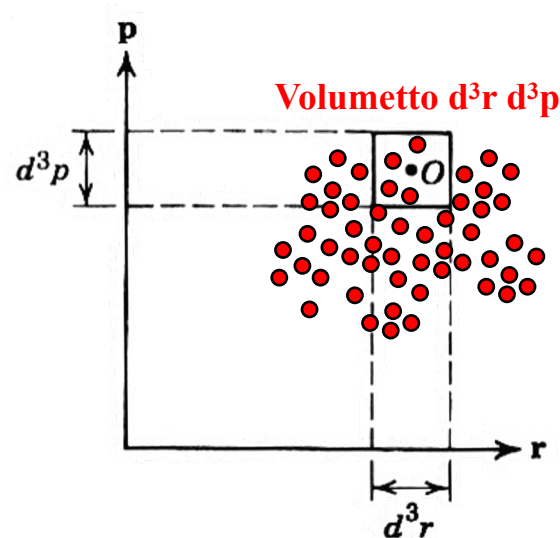
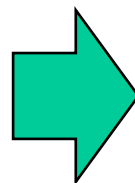
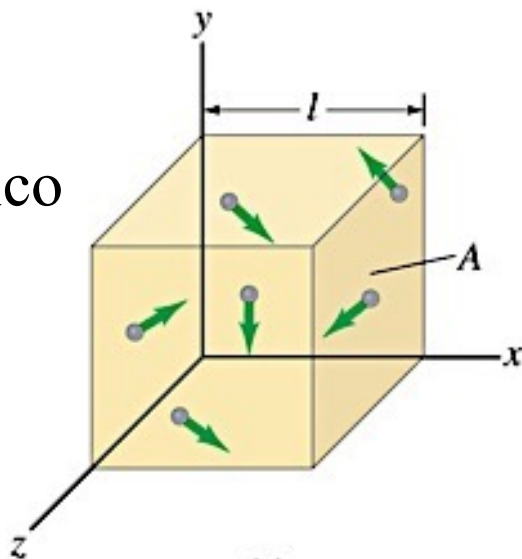
M. Antoni

$$H = K + V = \sum_{i=1}^N \frac{p_i^2}{2} + \frac{1}{2N} \sum_{i,j=1}^N [1 - \cos(\mathcal{G}_i - \mathcal{G}_j)]$$



S. Ruffo

N molecole
nello
Spazio fisico
3D



N punti
nello
Spazio μ
6D



J.C. Maxwell



L. Boltzmann

Applicazioni: il modello HMF

L'**Hamiltonian Mean Field (HMF) model** è un modello XY a rotatori planari (equivalenti a pendoli rigidi accoppiati, di massa e modulo unitari) con interazione a range infinito, definito dalla seguente hamiltoniana classica nelle N coppie di variabili canoniche $\{\theta_i, p_i\}$:

N gradi di libertà



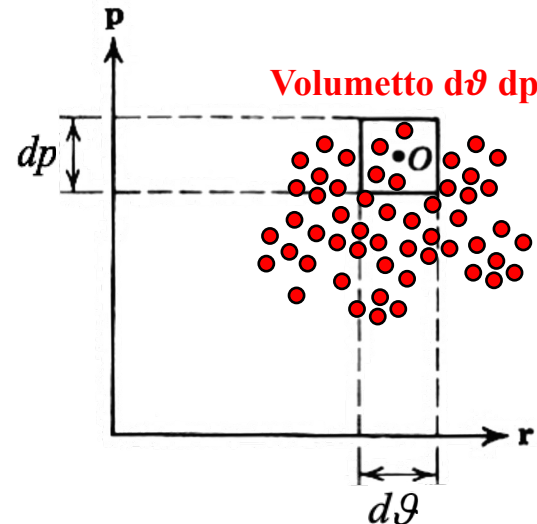
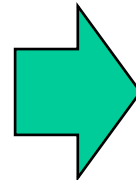
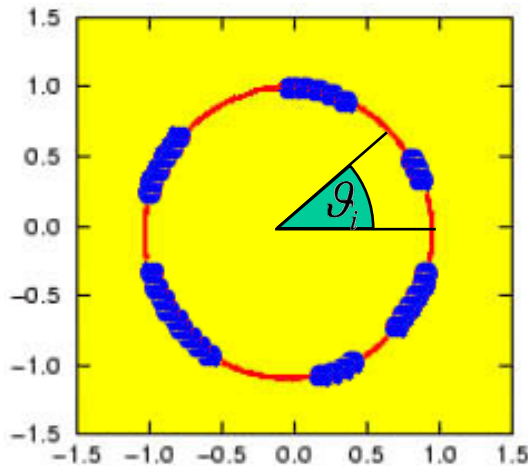
M. Antoni

$$H = K + V = \sum_{i=1}^N \frac{p_i^2}{2} + \frac{1}{2N} \sum_{i,j=1}^N [1 - \cos(\vartheta_i - \vartheta_j)]$$



S. Ruffo

N particelle (rotatori)
sul cerchio unitario



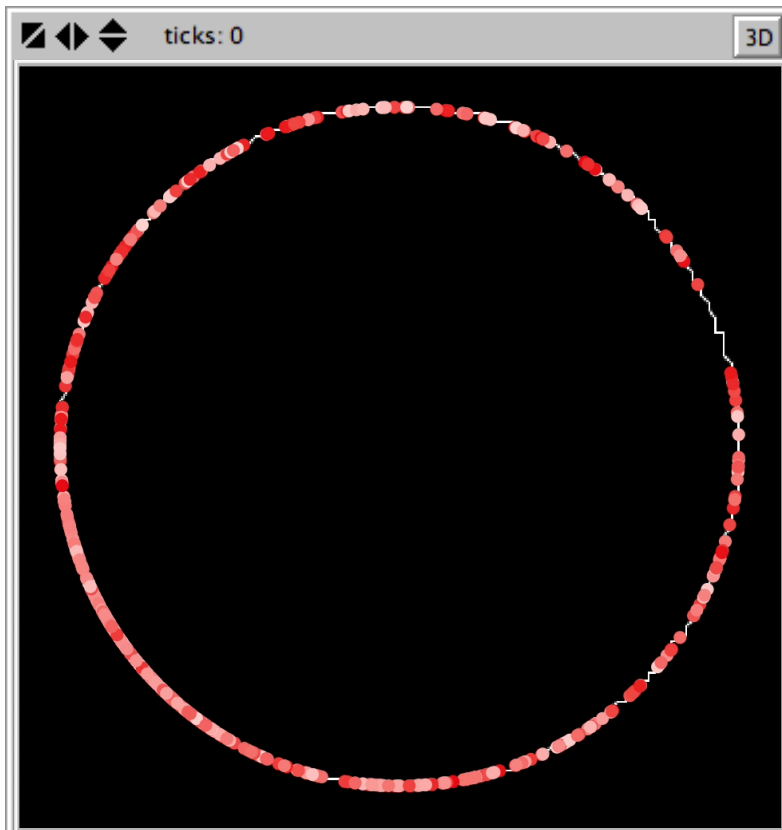
N punti in uno Spazio μ 2D



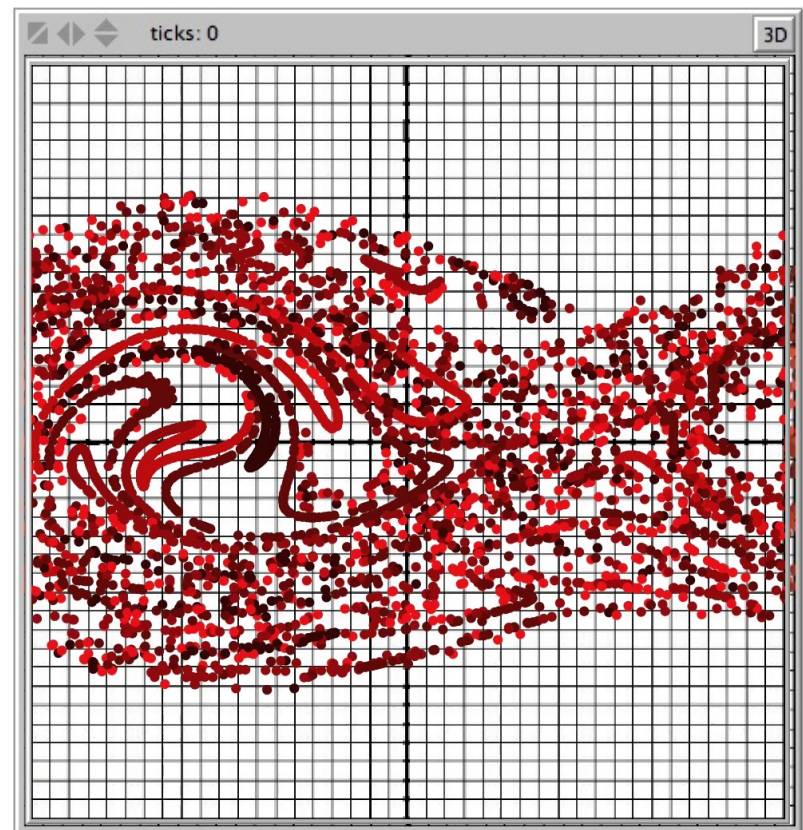
L. Boltzmann



hmf-unitcircle.nlogo

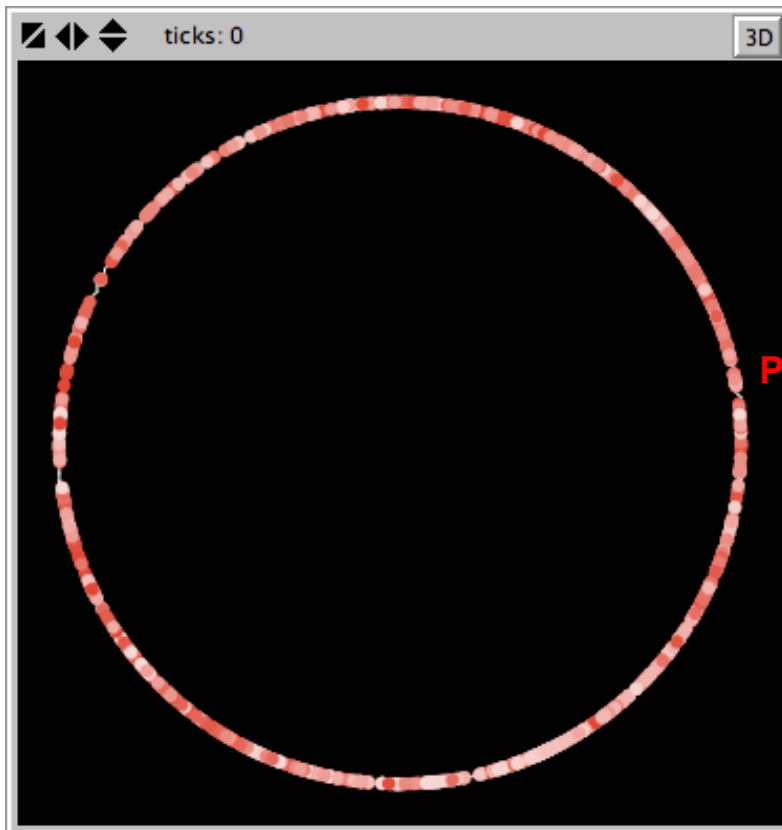


hmf-muspace.nlogo

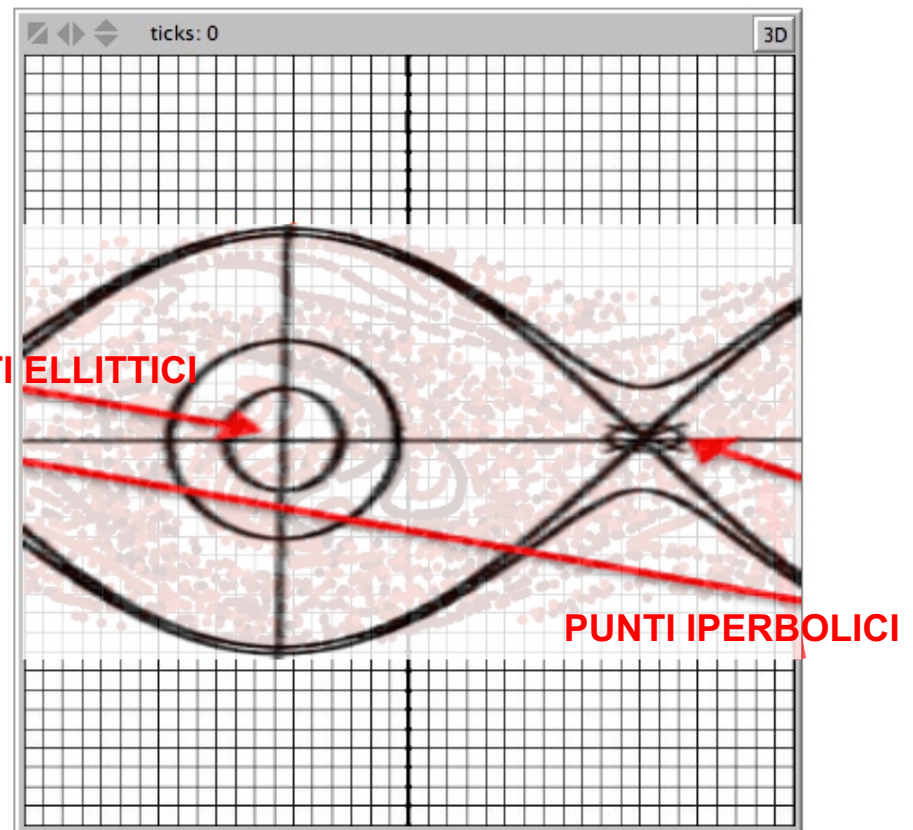




hmf-unitcircle.nlogo



hmf-muspace.nlogo



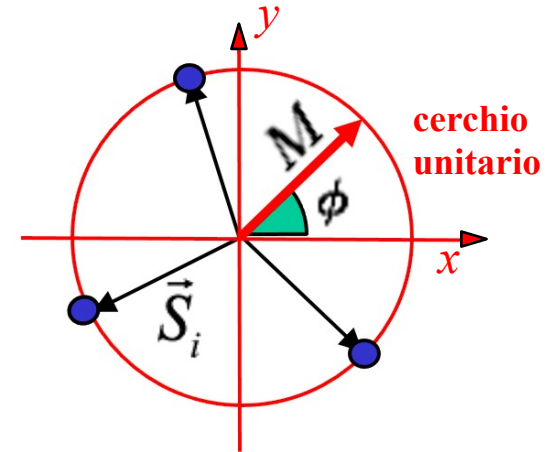
Meccanica statistica all'Equilibrio in Ensemble Canonico

Prendiamo come parametro d'ordine il modulo **M** della **Magnetizzazione** così definita:

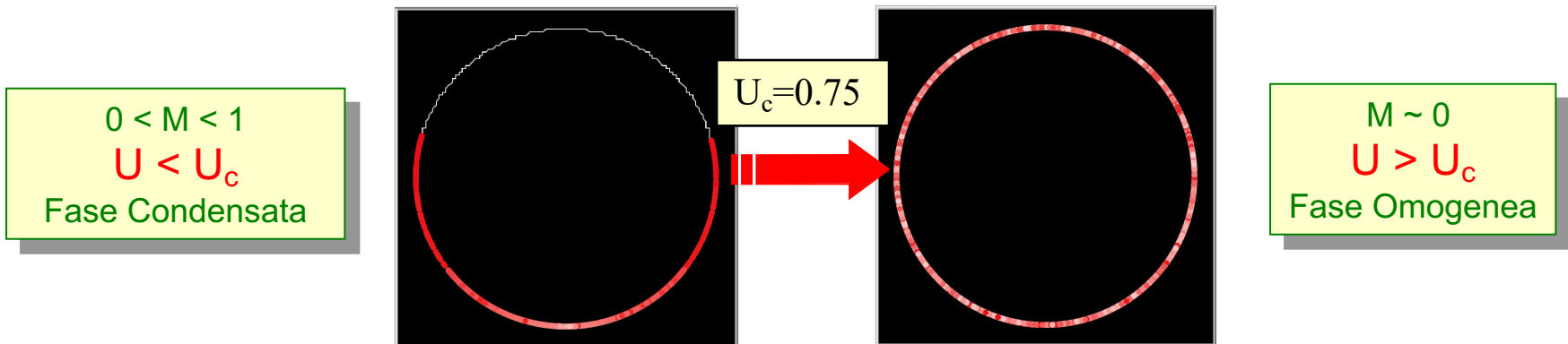
$$\vec{M} = \frac{1}{N} \sum_{i=1}^N \vec{S}_i$$

con $\vec{S}_i = (\cos \vartheta_i, \sin \vartheta_i)$

→ $\vec{M} = (M_x, M_y) = M e^{i\phi}$
 $M_x = M \cos \Phi, M_y = M \sin \Phi$



La soluzione in **Ensemble Canonico** del modello mostra una **transizione** da una fase **Condensata** (ferromagnetica con $M > 0$) ad una fase **Omogenea** (paramagnetica, con $M \sim 0$) in corrispondenza di un valore critico $U_c=0.75$ della **Densità di Energia** ($U=H/N$):



Meccanica statistica all'Equilibrio in Ensemble Canonico

Prendiamo come parametro d'ordine il modulo **M** della **Magnetizzazione** così definita:

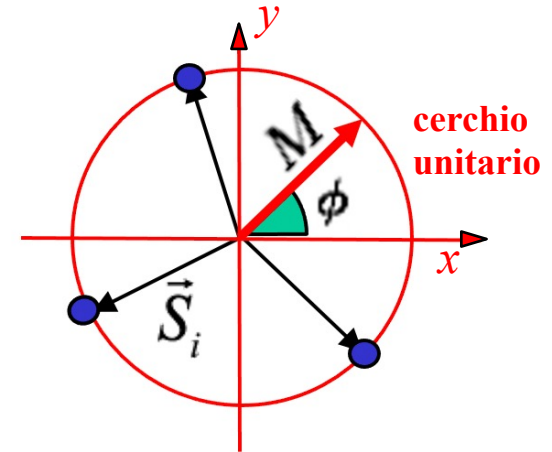
$$\vec{M} = \frac{1}{N} \sum_{i=1}^N \vec{S}_i$$

con $\vec{S}_i = (\cos \vartheta_i, \sin \vartheta_i)$



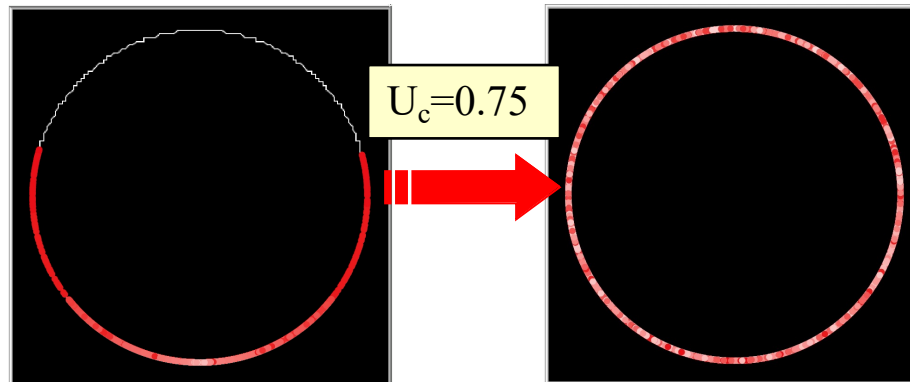
$$\vec{M} = (M_x, M_y) = M e^{i\phi}$$

$$M_x = M \cos \Phi, M_y = M \sin \Phi$$



La soluzione in **Ensemble Canonico** del modello mostra una **transizione** da una fase **Condensata** (ferromagnetica con $M > 0$) ad una fase **Omogenea** (paramagnetica, con $M \sim 0$) in corrispondenza di un valore critico $U_c=0.75$ della **Densità di Energia** ($U=H/N$):

$0 < M < 1$
 $U < U_c$
Fase Condensata



$M \sim 0$
 $U > U_c$
Fase Omogenea

Meccanica statistica all'Equilibrio in Ensemble Canonico

Prendiamo come parametro d'ordine il modulo **M** della **Magnetizzazione** così definita:

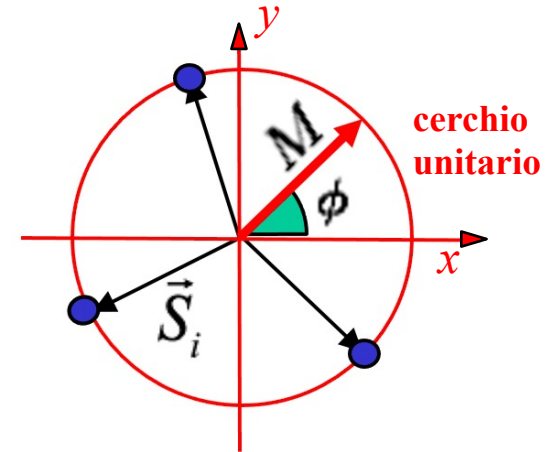
$$\vec{M} = \frac{1}{N} \sum_{i=1}^N \vec{S}_i$$

con $\vec{S}_i = (\cos \vartheta_i, \sin \vartheta_i)$



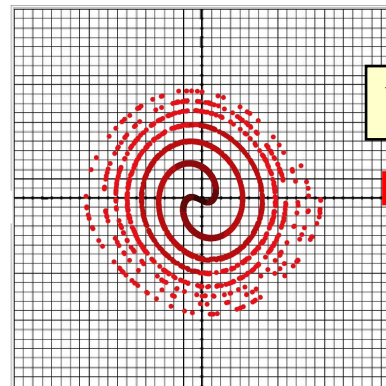
$$\vec{M} = (M_x, M_y) = M e^{i\phi}$$

$$M_x = M \cos \Phi, M_y = M \sin \Phi$$

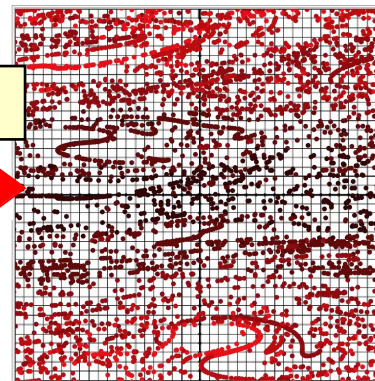


La soluzione in **Ensemble Canonico** del modello mostra una **transizione** da una fase **Condensata** (ferromagnetica con $M > 0$) ad una fase **Omogenea** (paramagnetica, con $M \sim 0$) in corrispondenza di un valore critico $U_c=0.75$ della **Densità di Energia** ($U=H/N$):

$0 < M < 1$
 $U < U_c$
 Fase Condensata



$U_c=0.75$



$M \sim 0$
 $U > U_c$
 Fase Omogenea

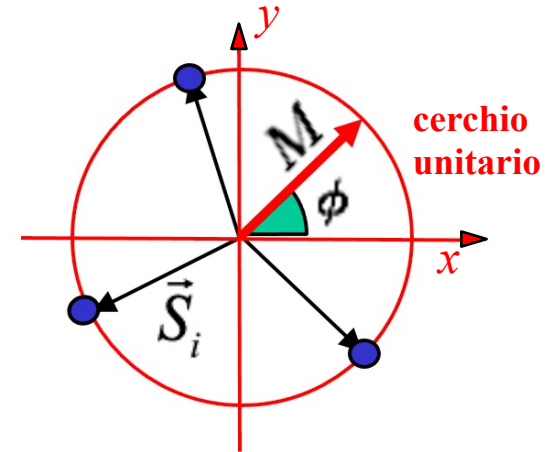
Meccanica statistica all'Equilibrio in Ensemble Canonico

Prendiamo come parametro d'ordine il modulo **M** della **Magnetizzazione** così definita:

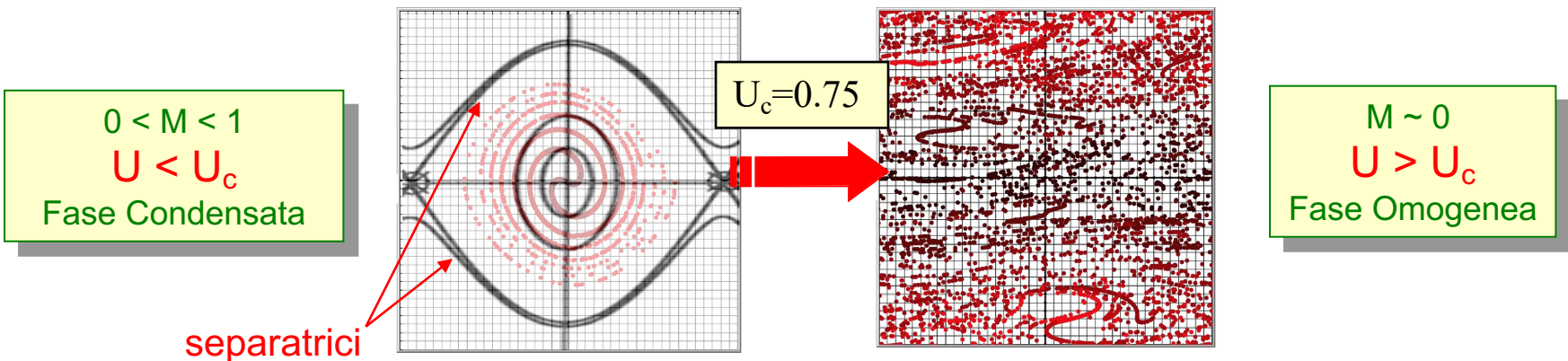
$$\vec{M} = \frac{1}{N} \sum_{i=1}^N \vec{S}_i \quad \text{con } \vec{S}_i = (\cos \vartheta_i, \sin \vartheta_i)$$

$$\vec{M} = (M_x, M_y) = M e^{i\phi}$$

$$M_x = M \cos \Phi, \quad M_y = M \sin \Phi$$



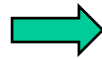
La soluzione in **Ensemble Canonico** del modello mostra una **transizione** da una fase **Condensata** (ferromagnetica con $M > 0$) ad una fase **Omogenea** (paramagnetica, con $M \sim 0$) in corrispondenza di un valore critico $U_c=0.75$ della **Densità di Energia** ($U=H/N$):



Meccanica statistica all'Equilibrio in Ensemble Canonico

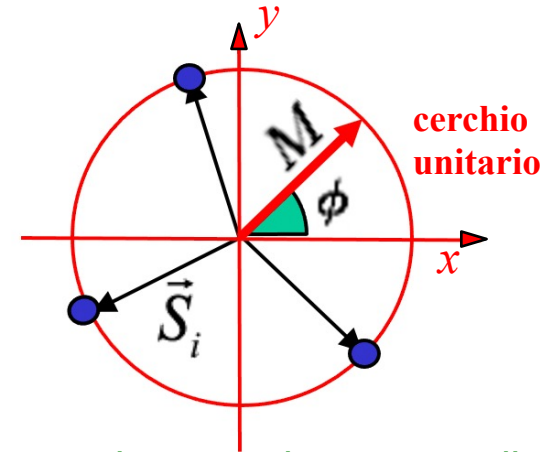
Prendiamo come parametro d'ordine il modulo **M** della **Magnetizzazione** così definita:

$$\vec{M} = \frac{1}{N} \sum_{i=1}^N \vec{S}_i \quad \text{con} \quad \vec{S}_i = (\cos \vartheta_i, \sin \vartheta_i)$$

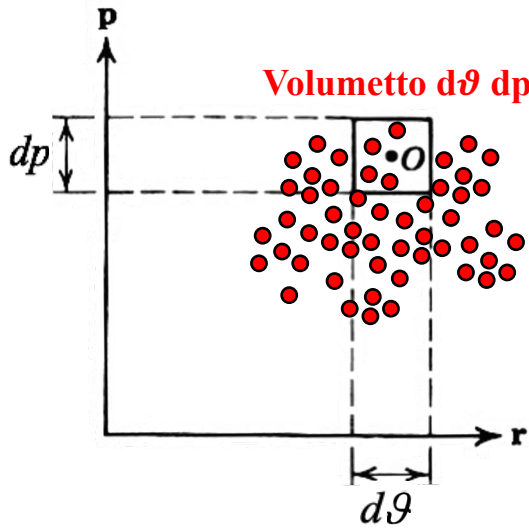


$$\vec{M} = (M_x, M_y) = M e^{i\phi}$$

$$M_x = M \cos \Phi, \quad M_y = M \sin \Phi$$



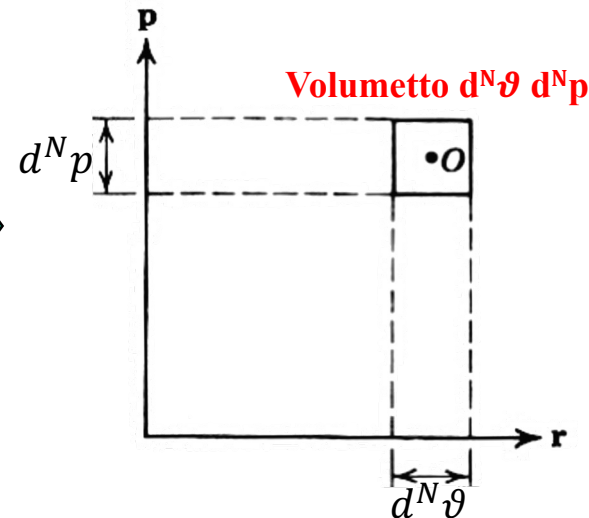
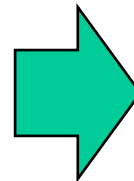
Per risolvere il modello HMF in **Ensemble Canonico** conviene ovviamente lavorare nello spazio Γ di Gibbs, che in questo caso ha N gradi di libertà e dunque $2N$ dimensioni:



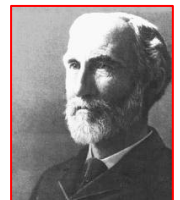
**N punti
in uno
Spazio μ
2D**



L. Boltzmann



**1 punto
nello
Spazio Γ
2N-D**



J.W. Gibbs

Meccanica statistica all'Equilibrio in Ensemble Canonico

Partiamo dalla **funzione di partizione canonica** del modello:

$$Z = \int_{-\infty}^{\infty} \prod_{k=1}^N dp_k \int_{-\pi}^{\pi} \prod_{k=1}^N d\theta_k e^{-\beta H}$$

$$\beta = \frac{1}{T} \quad (k_B = 1)$$

T = temperatura

$$H = \sum_{i=1}^N \frac{p_i^2}{2} + \frac{1}{2N} \sum_{i,j=1}^N [1 - \cos(\vartheta_i - \vartheta_j)]$$

Termostato

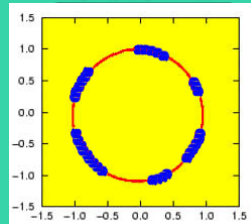
$$E_2 \rightarrow \infty$$

$$V_2 \rightarrow \infty$$

$$N_2 \rightarrow \infty$$

Temperatura
T

Sistema



Meccanica statistica all'Equilibrio in Ensemble Canonico

Partiamo dalla **funzione di partizione canonica** del modello:

$$Z = \int \prod_{k=1}^N dp_k \int \prod_{k=1}^N d\theta_k e^{-\beta H}$$

$$\beta = \frac{1}{T} \quad (k_B = 1) \quad H = \sum_{i=1}^N \frac{p_i^2}{2} + \frac{1}{2N} \sum_{i,j=1}^N [1 - \cos(\vartheta_i - \vartheta_j)]$$

$T = \text{temperatura}$

Innanzitutto la Z si **fattorizza** in un contributo cinetico ed uno potenziale:

$$Z_K = \int \prod_{k=1}^N dp_k e^{-\frac{\beta}{2} \sum_i p_i^2} = \left(\frac{2\pi}{\beta} \right)^{\frac{N}{2}}$$

$$Z_V = C \int \prod_{k=1}^N d\theta_k e^{-\frac{\beta}{2N} \sum_{ij} \cos(\theta_i - \theta_j)} = C \int \prod_{k=1}^N d\theta_k e^{-\frac{\beta}{2N} \left| \sum_i \vec{S}_i \right|^2}$$

...con: $C = e^{-\frac{\beta N}{2}}$

Applicando una trasformazione di **Hubbard-Stratonovich** (H-S) in 2D alla Z_V si **linearizza** l'esponente del termine esponenziale nell'integrale:

$$Z_V = \frac{C}{\pi} \int \prod_{k=1}^N d\theta_k \int_{-\infty}^{\infty} d\vec{v} e^{-\vec{v}^2 + \sum_i \vec{S}_i \cdot [\vec{v} (2\beta/N)^{1/2}]}$$

con: $\vec{v} = (v \cos \theta, v \sin \theta)$

da cui, scambiando l'ordine di integrazione, integrando sugli angoli e sfruttando la sostituzione di variabile $\vec{v} \rightarrow \vec{v}(N/2\beta)$, otterremo:

Meccanica statistica all'Equilibrio in Ensemble Canonico

$$Z_V = \frac{NC}{2\pi\beta} \int_{-\infty}^{\infty} d\vec{v} e^{N \left[-\frac{\vec{v}^2}{2\beta} + \ln 2\pi I_0(\vec{v}) \right]}$$

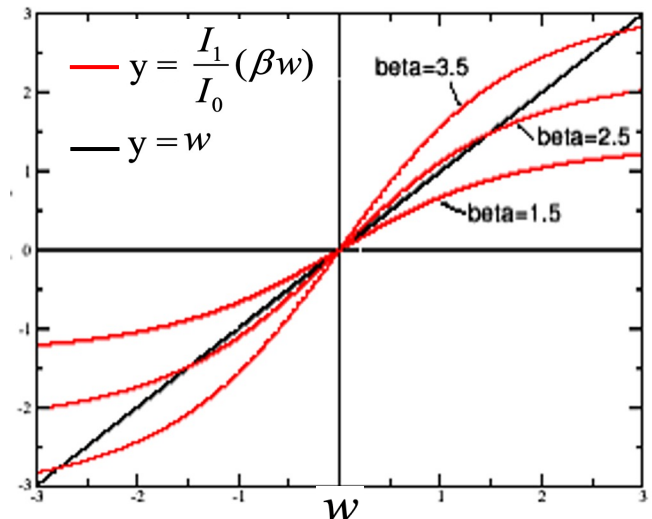
...dove I_k è la **funzione di Bessel modificata** di ordine k .

Per stimare questo integrale, essendo interessati al limite termodinamico, si può far uso del metodo della **steepest-descent**. Quest'ultimo richiede che la funzione in parentesi quadre, che chiameremo $f(v)$, abbia un massimo. Per trovarlo basta porre a zero la derivata prima di f ottenendo così **un'equazione autoconsistente in campo medio per i punti stazionari**:

$$w = \frac{I_1}{I_0}(\beta w) \quad \dots \text{dove si è posto: } \vec{w} = \vec{v} / \beta$$

$$\vec{M} = \frac{1}{N} \left\langle \sum_{i=1}^N \vec{S}_i \right\rangle = \frac{I_1}{I_0}(v) = \frac{v}{\beta} = w$$

Si può verificare che la w coincide con la **magnetizzazione M** del sistema e che la funzione a secondo membro ha un andamento qualitativamente uguale a quello di una tangente iperbolica, cosicché l'equazione è risolvibile graficamente. Si può così vedere che essa ammette **soluzioni diverse da zero** (quindi con $M > 0$) **solo per $\beta > 2$** , cioè per $T < 0.5$, valore che rappresenta dunque la **temperatura critica T_c** per il modello HMF.



Termodinamica all'Equilibrio in Ensemble Canonico

Dopo aver verificato che il **punto stazionario** appena trovato è un massimo per la funzione f (si trova infatti che gli autovalori della matrice hessiana sono entrambi negativi) si può applicare il metodo della **steepest-descent** alla funzione di partizione totale Z per ricavare la **densità di energia libera F** :

$$-\beta F = \lim_{N \rightarrow \infty} \frac{\ln Z}{N} = \frac{1}{2} \ln \left(\frac{2\pi}{\beta} \right) - \frac{\beta}{2} + \left[-\beta \frac{\vec{w}^2}{2} + \ln 2\pi I_0(\beta |\vec{w}|) \right]_0$$

dove l'ultimo termine va calcolato nel punto di **massimo**.

Dalla densità di energia libera è anche possibile ricavare la relazione che lega la **densità di energia U** alle variabili **T** ed **M** , cioè la cosiddetta **curva calorica**. Infatti si ha:

$$U = \left\langle \frac{H}{N} \right\rangle = \frac{\partial(\beta F)}{\partial \beta} = \frac{1}{2\beta} + \frac{1}{2} + \frac{w^2}{2} - w \frac{I_0(\beta w)}{I_1(\beta w)}$$

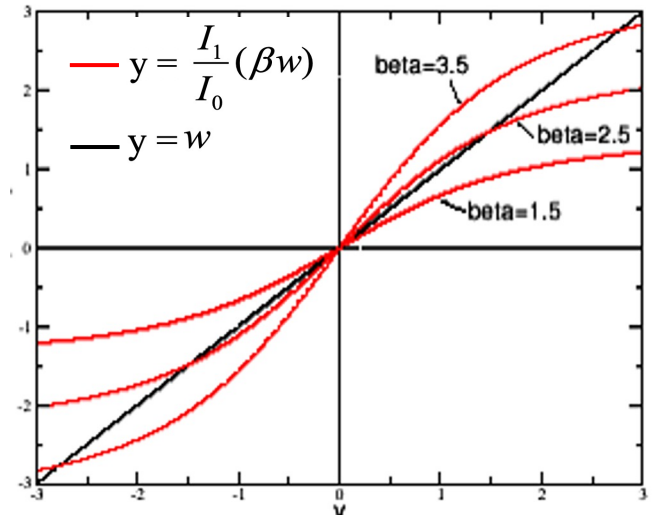
la quale, poiché $w = M$, ci dà la **curva calorica**:

$$U = \frac{T}{2} + \frac{1}{2}(1 - M^2)$$

da cui, sostituendo $T = T_c = 0.5$ e $M = 0$, si ricava la densità di energia critica:

$$U_c = 0.75$$

$$\vec{M} = \frac{1}{N} \left\langle \sum_{i=1}^N \vec{S}_i \right\rangle = \frac{I_1(v)}{I_0(v)} = \frac{v}{\beta} = w$$



Termodinamica all'Equilibrio in Ensemble Canonico

Dopo aver verificato che il **punto stazionario** appena trovato è un massimo per la funzione f (si trova infatti che gli autovalori della matrice hessiana sono entrambi negativi) si può applicare il metodo della **steepest-descent** alla funzione di partizione totale Z per ricavare la **densità di energia libera F** :

$$-\beta F = \lim_{N \rightarrow \infty} \frac{\ln Z}{N} = \frac{1}{2} \ln \left(\frac{2\pi}{\beta} \right) - \frac{\beta}{2} + \left[-\beta \frac{\vec{w}^2}{2} + \ln 2\pi I_0(\beta |\vec{w}|) \right]_0$$

dove l'ultimo termine va calcolato nel punto di **massimo**.

Dalla densità di energia libera è anche possibile ricavare la relazione che lega la **densità di energia U** alle variabili T ed M , cioè la cosiddetta **curva calorica**. Infatti si ha:

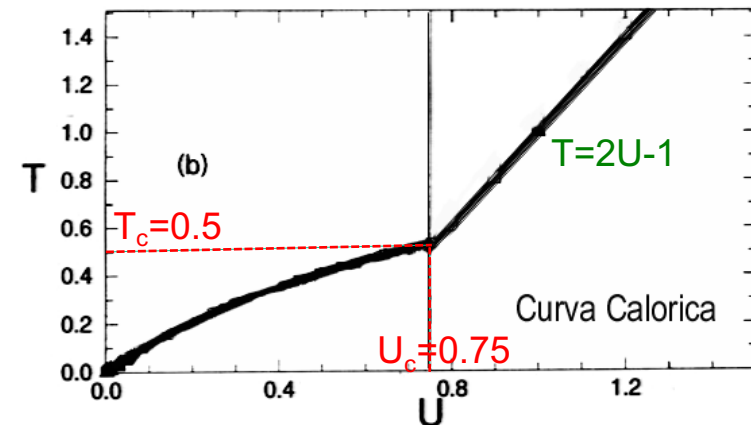
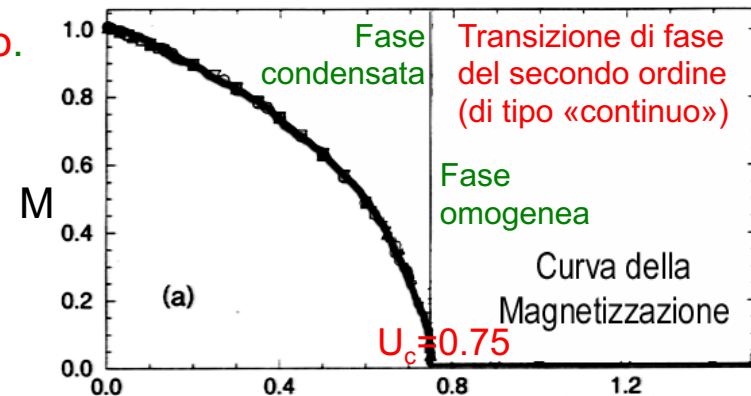
$$U = \left\langle \frac{H}{N} \right\rangle = \frac{\partial(\beta F)}{\partial \beta} = \frac{1}{2\beta} + \frac{1}{2} + \frac{w^2}{2} - w \frac{I_0(\beta w)}{I_1(\beta w)}$$

la quale, poiché $w = M$, ci dà la **curva calorica**:

$$U = \frac{T}{2} + \frac{1}{2}(1 - M^2)$$

da cui, sostituendo $T = T_c = 0.5$ e $M = 0$, si ricava la densità di energia critica:

$$U_c = 0.75$$



Meccanica statistica e Termodinamica all'Equilibrio in Ensemble Microcanonico: equivalenza degli Ensemble

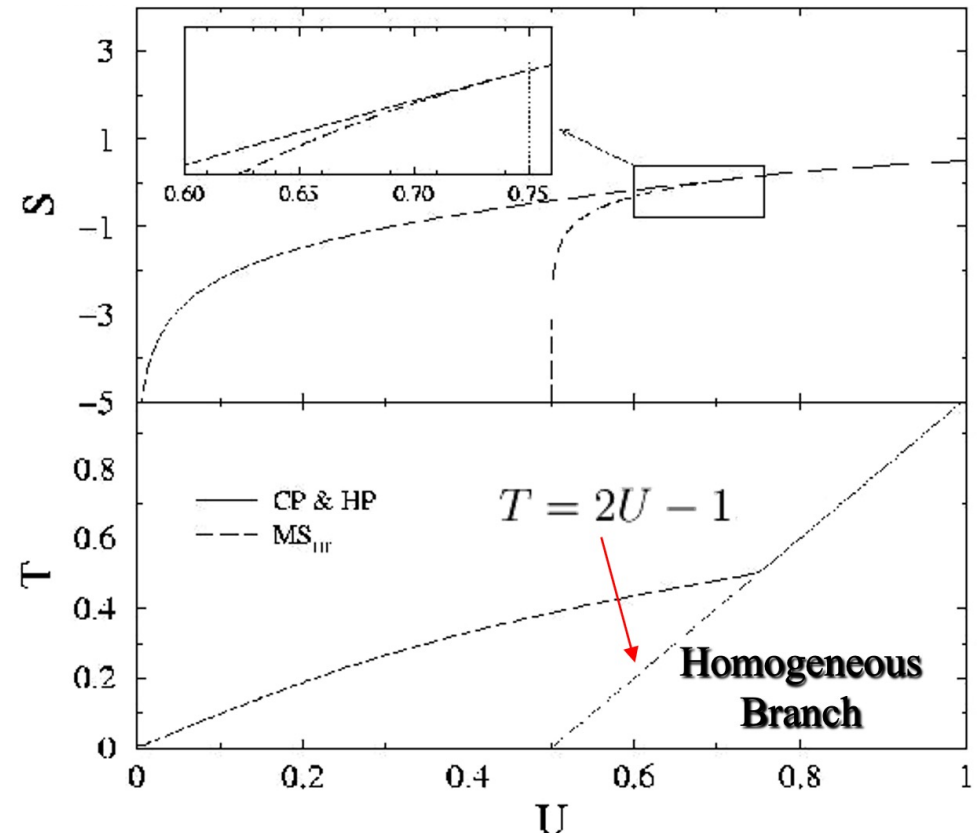
Funzione di Partizione
Canonica

$$Z(\beta, N) = \int_0^\infty dE \omega(E, N) e^{-\beta E}$$



Densità nello Spazio delle Fasi:
Funzione di Partizione
Microcanonica

$$\omega(E, N) = \int d^N p_i d^N \theta_i \delta(E - H)$$



Entropia $S(U) = \min_{\beta > 0} \max_y [\beta U + \frac{1}{2} \ln(\frac{2\pi}{\beta}) - \frac{\beta}{2} + \ln(2\pi I_0(y)) - \frac{y^2}{2\beta}]$

Meccanica statistica e Termodinamica all'Equilibrio in Ensemble Microcanonico: equivalenza degli Ensemble

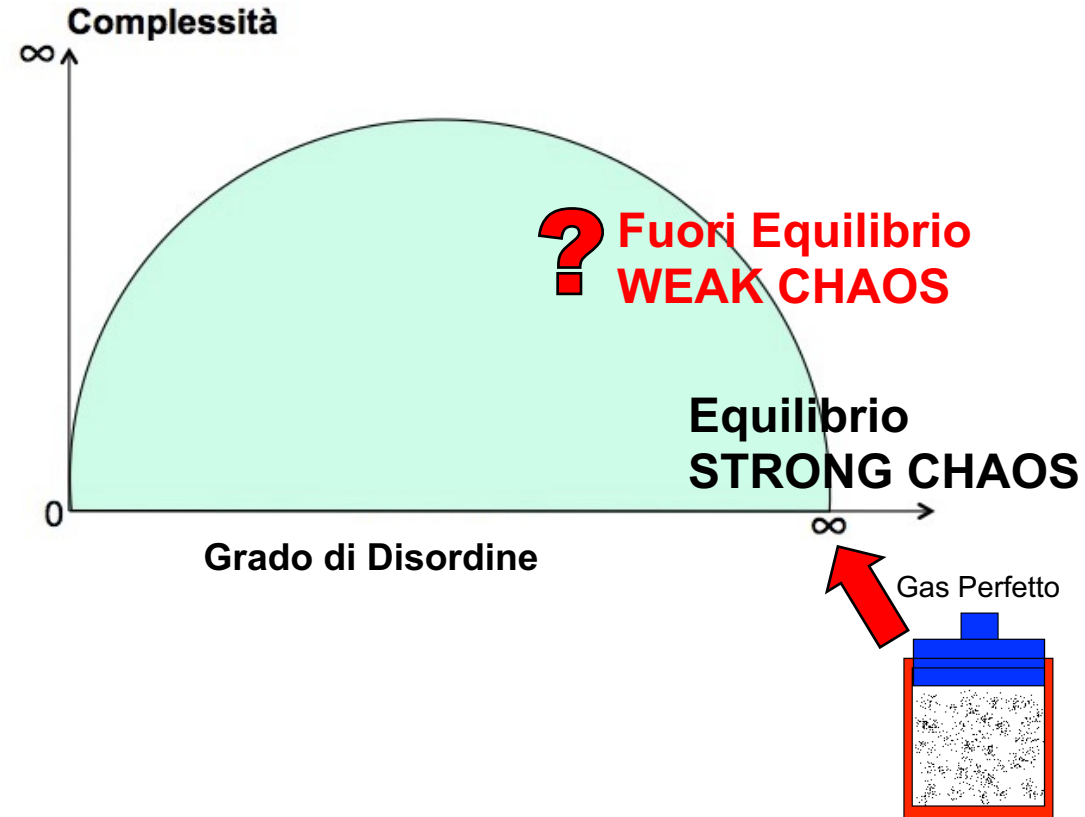
Funzione di Partizione
Canonica

$$Z(\beta, N) = \int_0^\infty dE \omega(E, N) e^{-\beta E}$$



Densità nello Spazio delle Fasi:
Funzione di Partizione
Microcanonica

$$\omega(E, N) = \int d^N p_i d^N \theta_i \delta(E - H)$$



Entropia $S(U) = \min_{\beta > 0} \max_y \left[\beta U + \frac{1}{2} \ln\left(\frac{2\pi}{\beta}\right) - \frac{\beta}{2} + \ln(2\pi I_0(y)) - \frac{y^2}{2\beta} \right]$

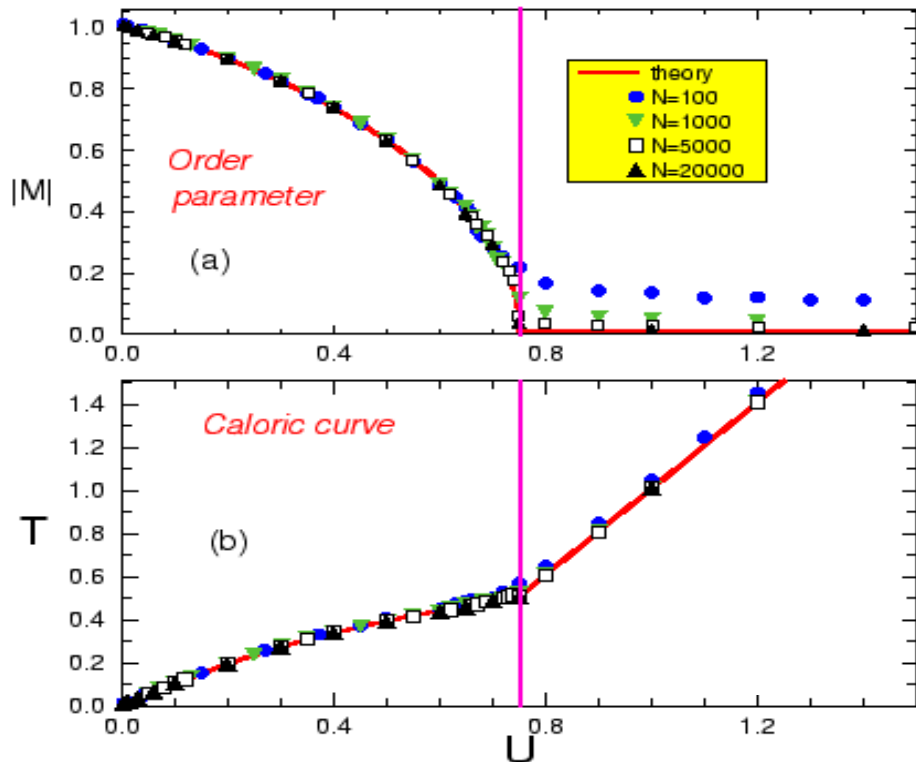
Dinamica del Modello HMF (simulazioni)

Equazioni del moto di Hamilton in campo medio

$$\begin{cases} \frac{\partial \theta_i}{\partial t} = p_i \\ \frac{\partial p_i}{\partial t} = -M_x \sin \theta_i + M_y \cos \theta_i \end{cases} \quad \longrightarrow \quad \ddot{\theta}_i = M \sin(\Phi - \theta_i)$$

$\vec{M} = (M_x, M_y) = M e^{i\phi}$

Le equazioni del moto che si ricavano dall'Hamiltoniana del modello HMF possono essere integrate numericamente ad **energia costante** usando un algoritmo symplettico del 4° ordine. Yoshida, Physica A 150 (1990) 262



Si trova così un buon accordo tra le **soluzioni canoniche esatte** e le **simulazioni microcanoniche** all'equilibrio per varie size N del sistema...

Nota: dinamicamente la **temperatura** viene calcolata per mezzo della sua relazione con l'**energia cinetica media** $\langle K \rangle$ dei rotatori (teorema di equipartizione):

$$T = \frac{2\langle K \rangle}{N}$$

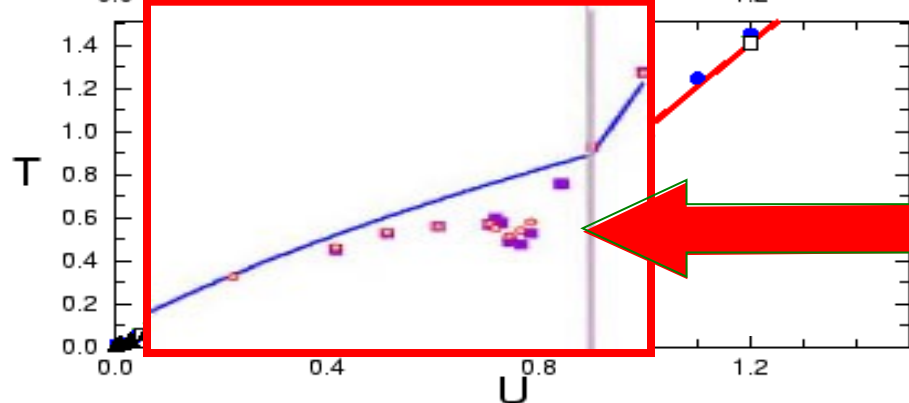
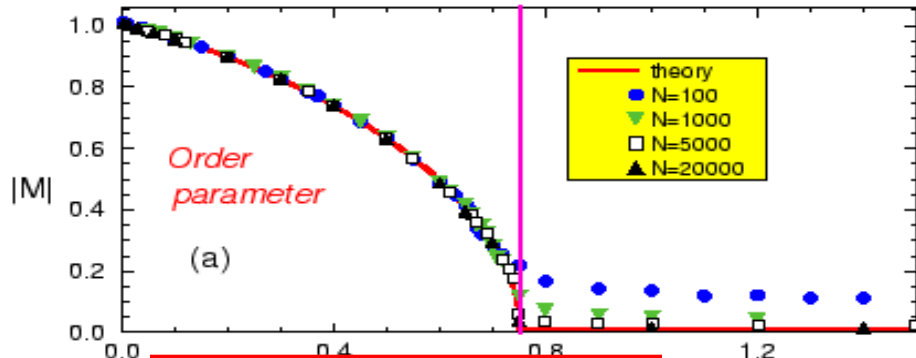
Anomalie dinamiche e inequivalenza degli Ensemble

Equazioni del moto di Hamilton in campo medio

$$\begin{cases} \frac{\partial \theta_i}{\partial t} = p_i \\ \frac{\partial p_i}{\partial t} = -M_x \sin \theta_i + M_y \cos \theta_i \end{cases} \quad \longrightarrow \quad \ddot{\theta}_i = M \sin(\Phi - \theta_i)$$

$$\vec{M} = (M_x, M_y) = M e^{i\phi}$$

Le equazioni del moto che si ricavano dall'Hamiltoniana del modello HMF possono essere integrate numericamente ad **energia costante** usando un algoritmo symplettico del 4° ordine. Yoshida, Physica A 150 (1990) 262

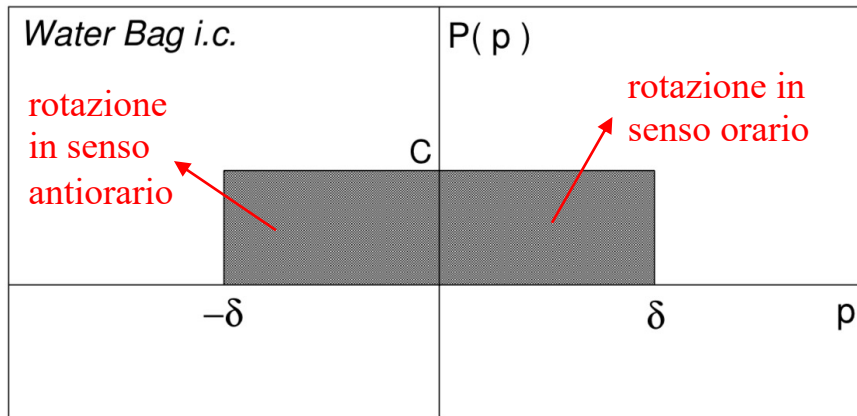


Si trova così un buon accordo tra le **soluzioni canoniche esatte** e le **simulazioni microcanoniche** all'equilibrio per varie size N del sistema...

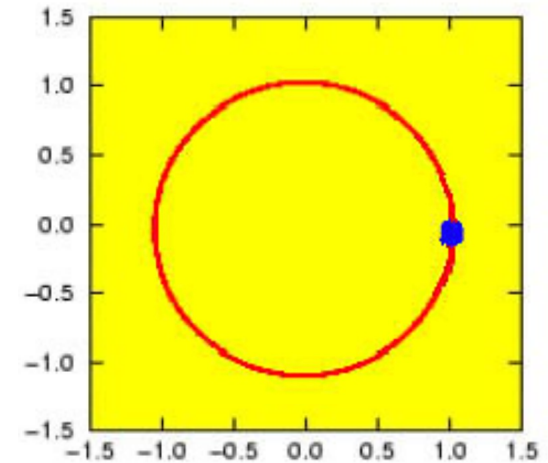
ma...

Quando il sistema viene fatto partire da **condizioni iniziali sufficientemente lontane dall'equilibrio**, si osservano molte **anomalie dinamiche**. In particolare ci concentreremo su un range di energie situate subito **sotto il punto critico** ($0.5 < U < 0.75$).

Condizioni iniziali lontane dall' equilibrio: «esplosione cinetica» iniziale



Distribuzione uniforme delle velocità



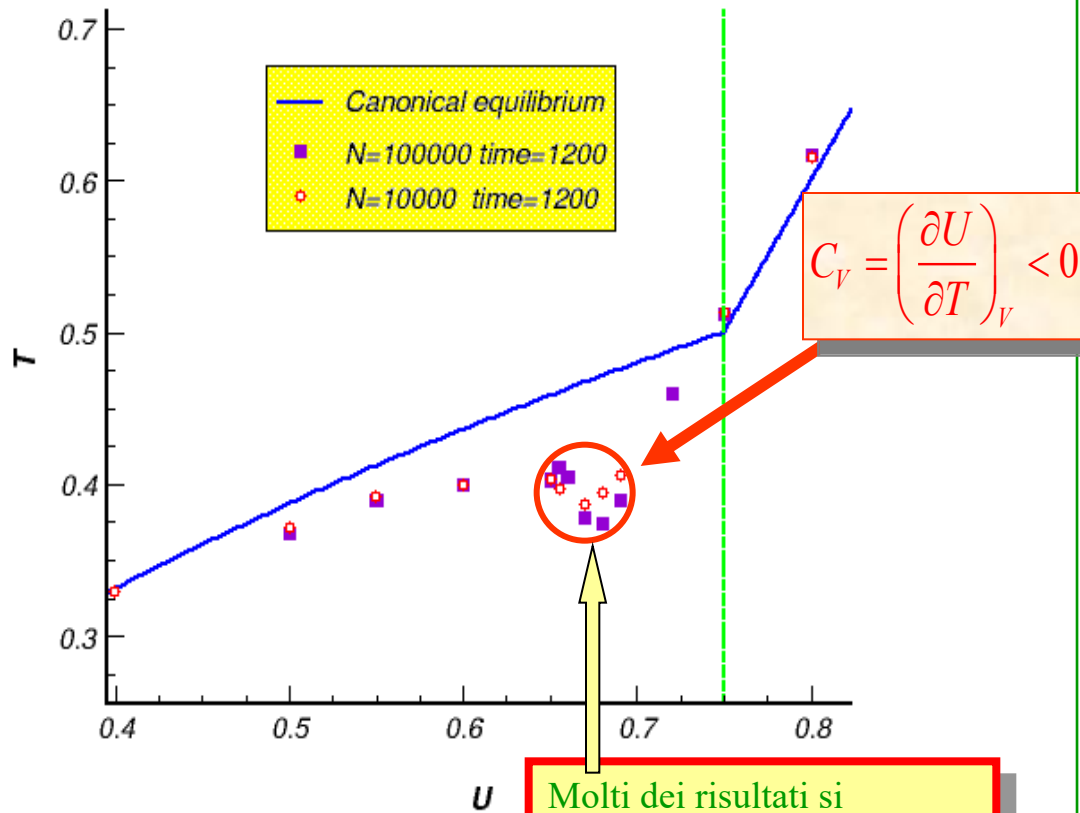
Tutti gli angoli = 0

$$M(t=0)=1$$

$$H = K + V = \sum_{i=1}^N \frac{p_i^2}{2} + \frac{1}{2N} \sum_{i,j=1}^N [1 - \cos(\vartheta_i - \vartheta_j)] \longrightarrow U = \frac{T}{2} + \frac{1}{2} (1 - M^2)$$

A t=0 tutta l'energia è di tipo cinetico!

La prima anomalia: Calore specifico negativo



In tale regione il calore specifico diventa negativo. Infatti la temperatura decresce, incrementando la densità di energia..

Questo fenomeno è stato osservato nelle reazioni di multiframmentazione nucleare e nei clusters atomici, ma anche in oggetti stellari auto-gravitanti, cioè in sistemi non-estensivi.

Vedi per esempio:

- Thirring, Zeit. Physik 235 (1970) 339
- Lynden-Bell, Physica A 263 (1999) 293
- D.H.E.Gross, *Microcanonical Thermodynamics: Phase transitions in Small systems*, World Scientific (2001).
- M. D'Agostino et al, Phys. Lett. B 473 (2000) 279
- Schmidt et al, Phys. Rev. Lett. 86 (2001) 1191

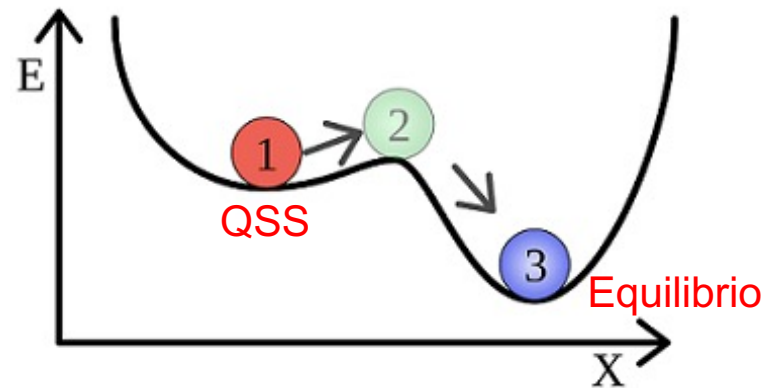
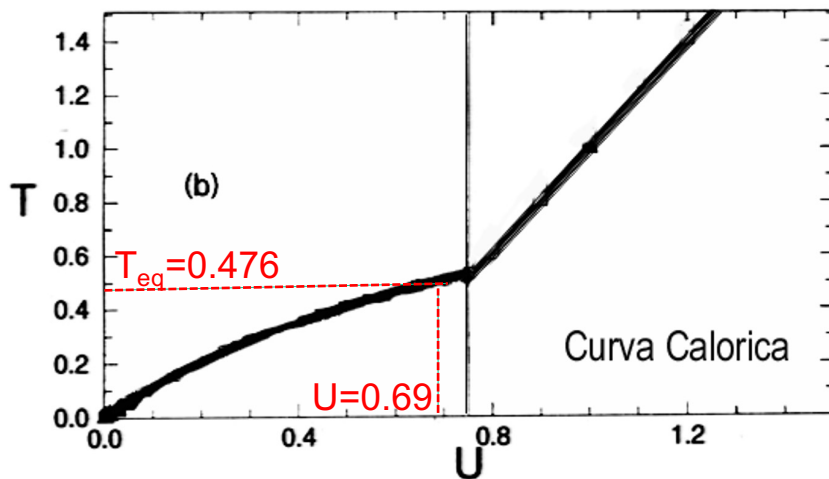
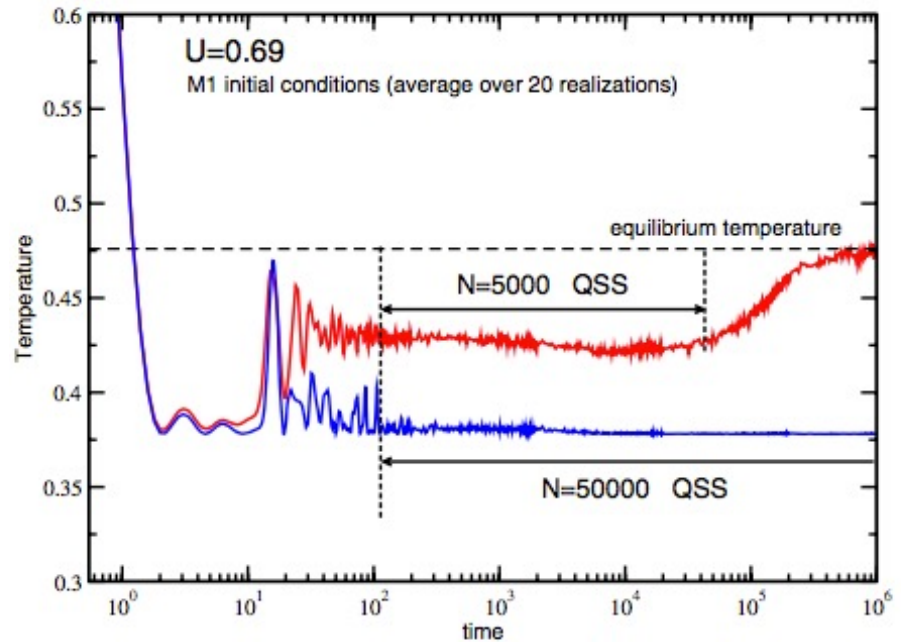
Molti dei risultati si riferiranno al caso $U=0.69$ dove le anomalie sono più evidenti

Stati Metastabili (QSS)

Partendo da condizioni iniziali lontane dall'equilibrio con $U=0.69$, il sistema rimane intrappolato per un certo tempo in **STATI QUASI-STAZIONARI (QSS) METASTABILI** dove la temperatura, sempre calcolata come:

$$T = \frac{2\langle K \rangle}{N}$$

rimane minore di quella prevista dalla curva calorica all'equilibrio ($T_{eq}=0.476$).

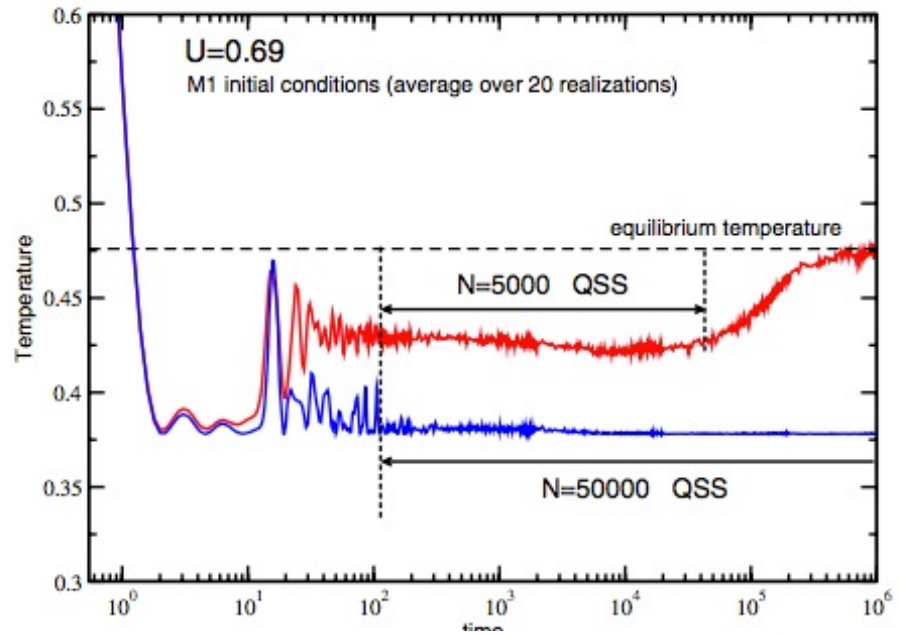


Stati Metastabili (QSS)

Partendo da condizioni iniziali lontane dall'equilibrio con $U=0.69$, il sistema rimane intrappolato per un certo tempo in **STATI QUASI-STAZIONARI (QSS) METASTABILI** dove la temperatura, sempre calcolata come:

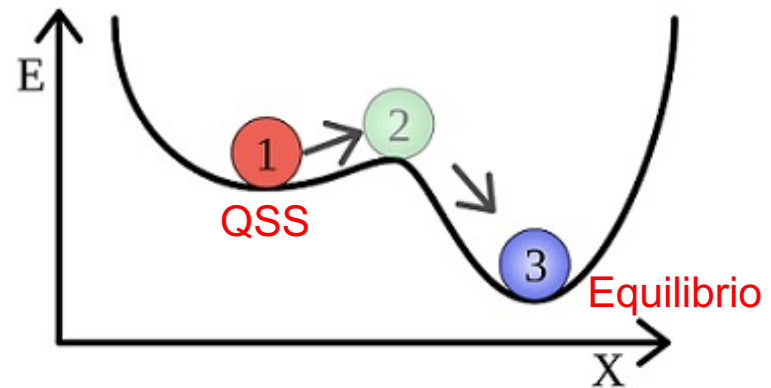
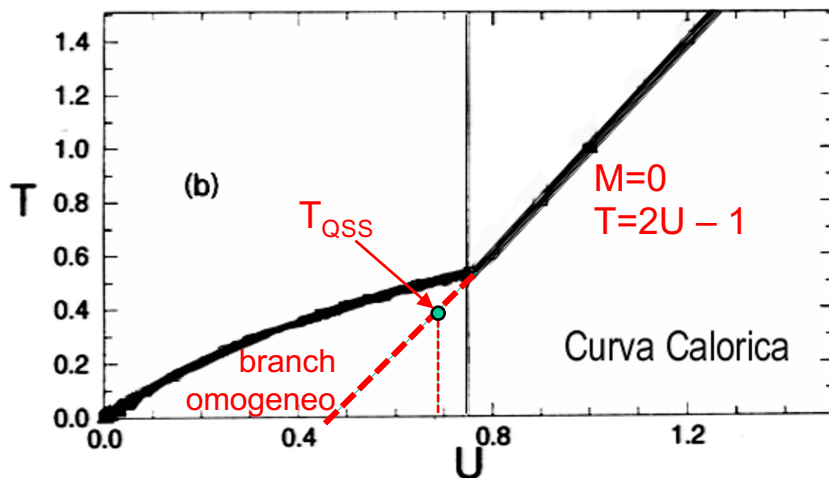
$$T = \frac{2\langle K \rangle}{N}$$

rimane minore di quella prevista dalla curva calorica all'equilibrio ($T_{eq}=0.476$).



Nel regime QSS la magnetizzazione va a zero con la size N del sistema:

$$M_{QSS} \sim N^{-1/6}$$



Stati Metastabili (QSS)

Partendo da condizioni iniziali lontane dall'equilibrio con $U=0.69$, il sistema rimane intrappolato per un certo tempo in **STATI QUASI-STAZIONARI (QSS) METASTABILI** dove la temperatura, sempre calcolata come:

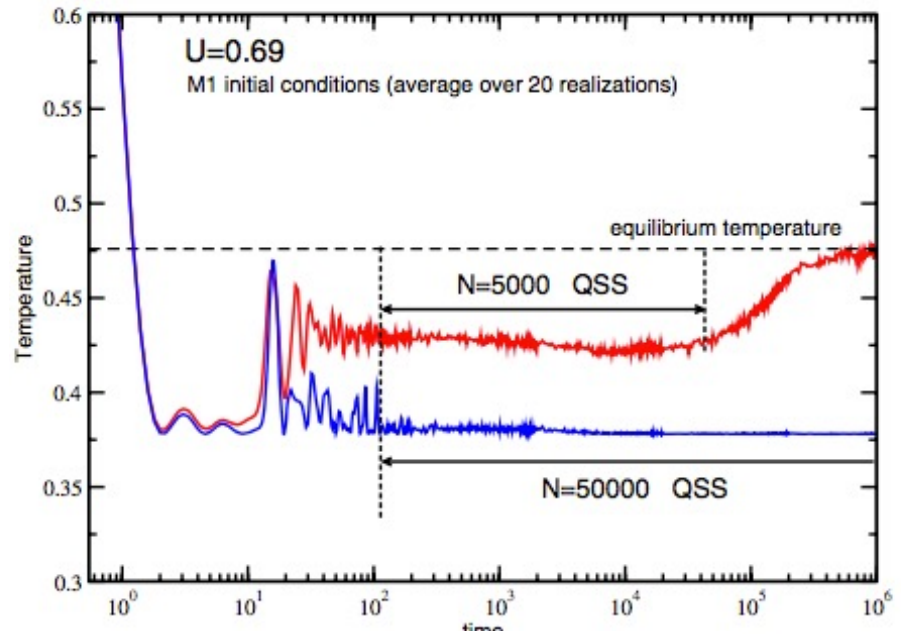
$$T = \frac{2\langle K \rangle}{N}$$

rimane minore di quella prevista dalla curva calorica all'equilibrio ($T_{eq}=0.476$).

e così fa anche la forza F_i agente sull' i -esimo spin, essendo:

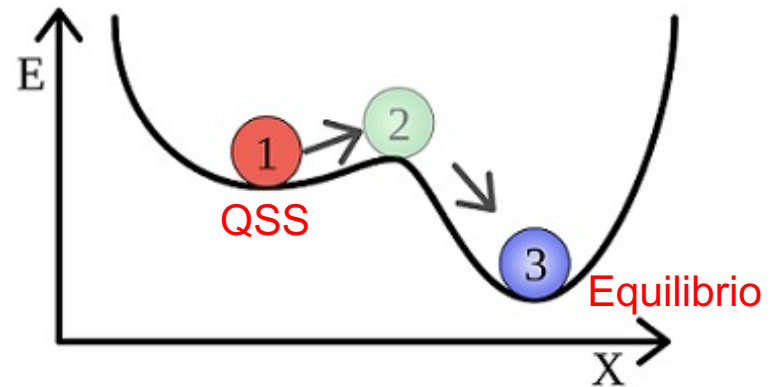
$$F_i = -M_x \sin \theta_i + M_y \cos \theta_i$$

Quindi maggiore è N , maggiore è il tempo di vita di questi stati metastabili...



Nel regime QSS la magnetizzazione va a zero con la size N del sistema:

$$M_{QSS} \sim N^{-1/6}$$

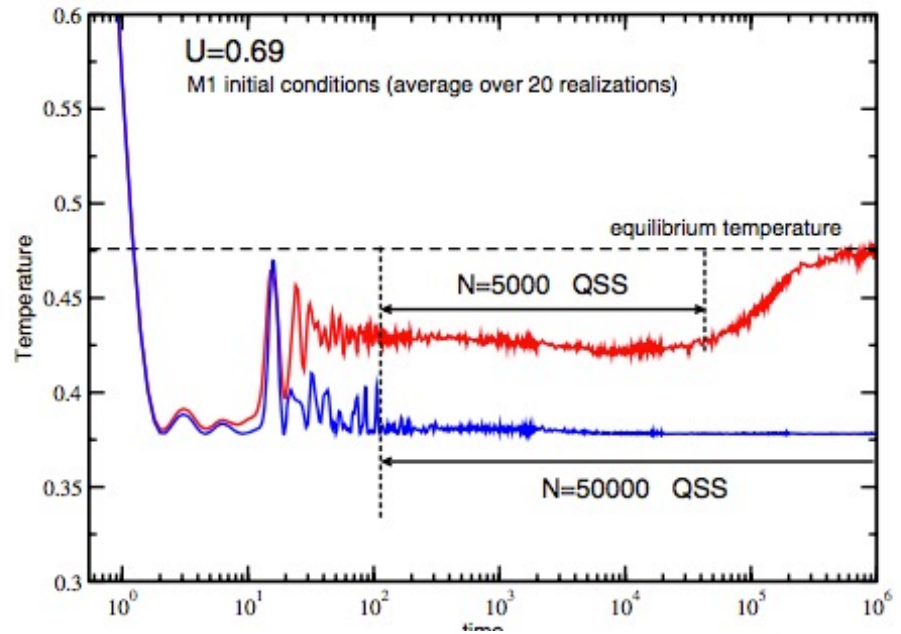


Stati Metastabili (QSS)

Partendo da condizioni iniziali lontane dall'equilibrio con $U=0.69$, il sistema rimane intrappolato per un certo tempo in **STATI QUASI-STAZIONARI (QSS) METASTABILI** dove la temperatura, sempre calcolata come:

$$T = \frac{2\langle K \rangle}{N}$$

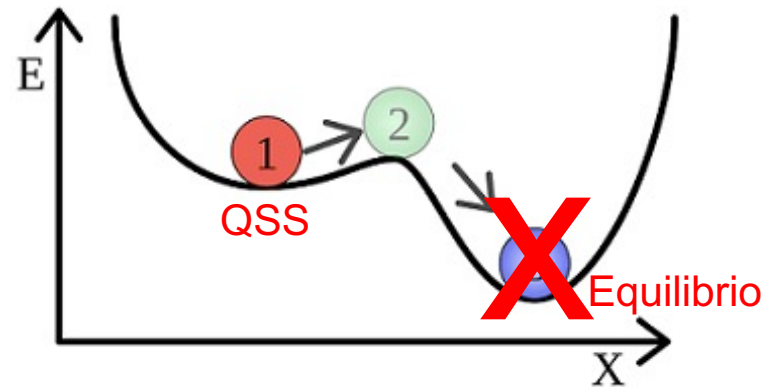
rimane minore di quella prevista dalla curva calorica all'equilibrio ($T_{eq}=0.476$).



Nel regime QSS la magnetizzazione va a zero con la size N del sistema:

$$M_{QSS} \sim N^{-1/6}$$

Alla fine, per $N \rightarrow \infty$, la temperatura dei QSS tende al valore limite $T_{QSS} = 0.38$ e il sistema non raggiunge MAI il regime di equilibrio!

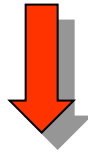


Ordine dei limiti

Le simulazioni mostrano chiaramente che, andando verso il limite termodinamico, diventa cruciale l'ordine in cui vengono presi i due limiti per N infinito e per t infinito...

In generale, cioè, i due limiti non commutano
(come invece dovrebbe teoricamente accadere):

$$N \rightarrow \infty \quad t \rightarrow \infty \quad \neq \quad t \rightarrow \infty \quad N \rightarrow \infty$$



QSS



Boltzmann-Gibbs
equilibrium

Entropia e correlazioni nel μ -space



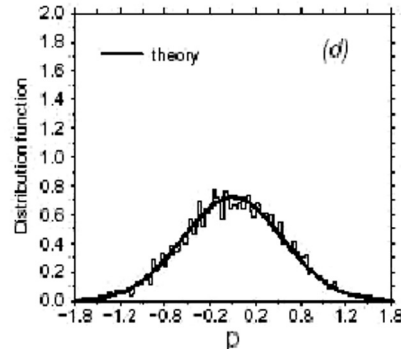
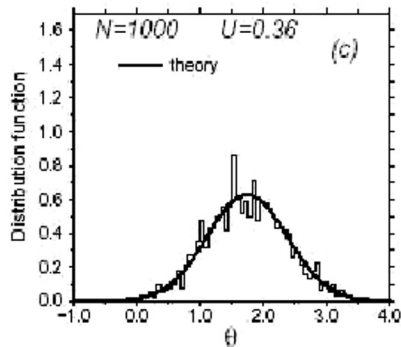
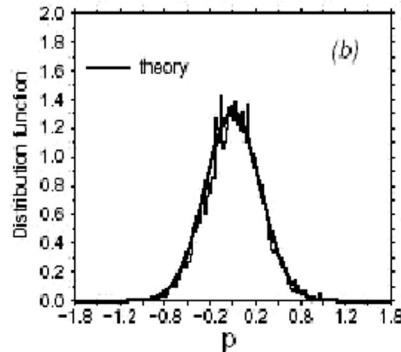
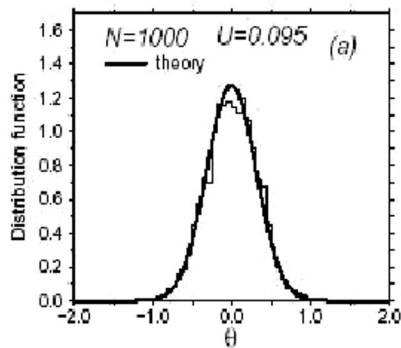
A. Vlasov (1908-75)

Equazione di Vlasov

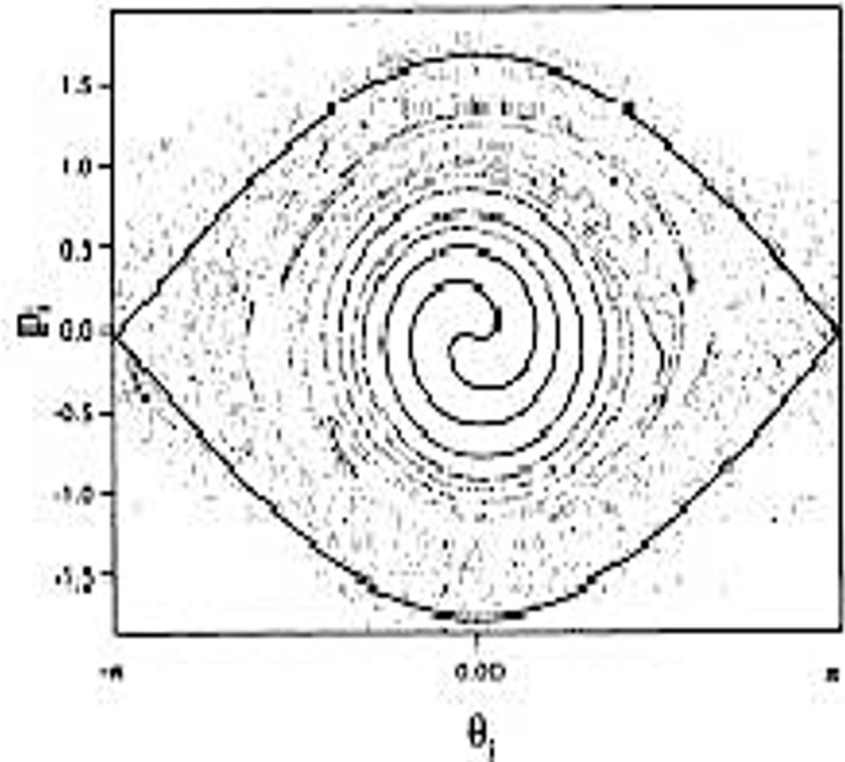
$$\frac{\partial f}{\partial t} + p \frac{\partial f}{\partial \theta} - \frac{\partial V}{\partial \theta} \frac{\partial f}{\partial p} = 0$$

Eq. del trasporto di Boltzmann in assenza di collisioni
(introdotta per lo studio di sistemi con correlazioni a lungo raggio, come i plasmi)

$f(\theta, p, t)$: funzione di distribuzione

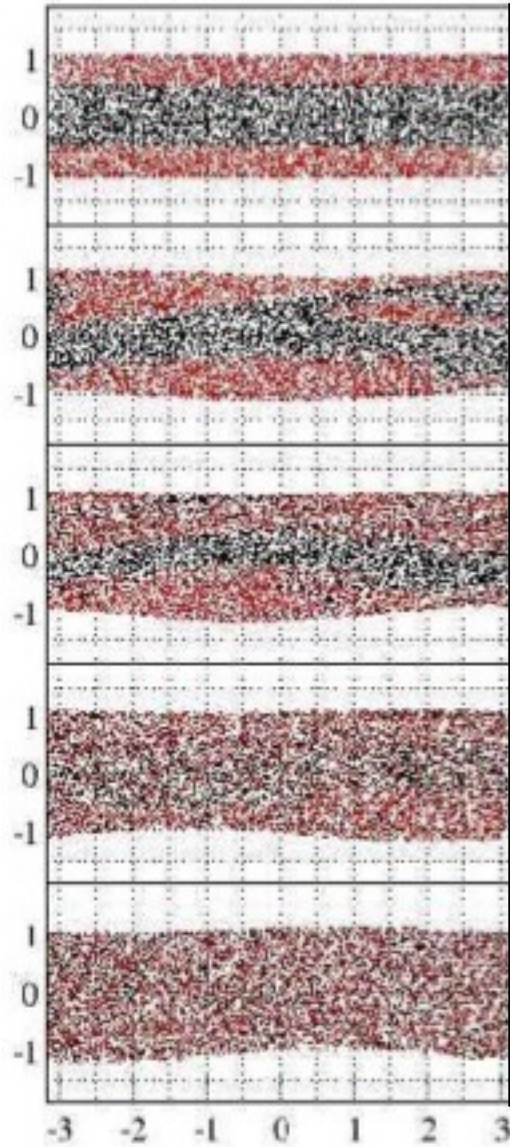


μ -space



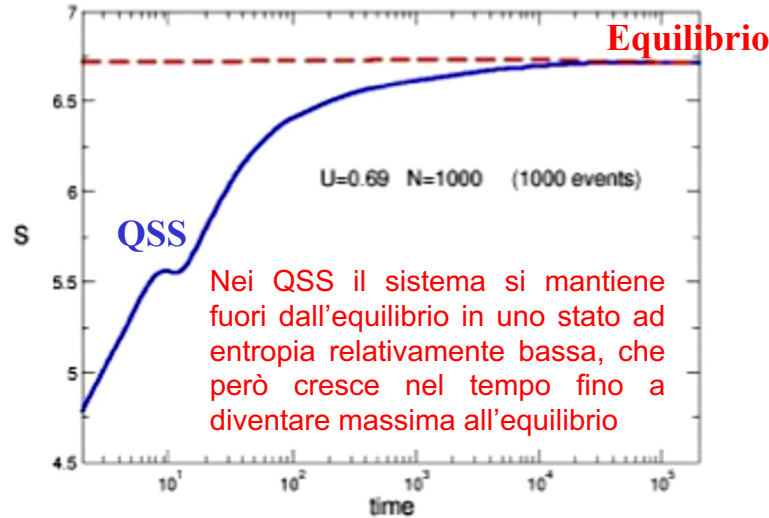
Entropia e correlazioni nel μ -space

Equilibrio (ergodicity)

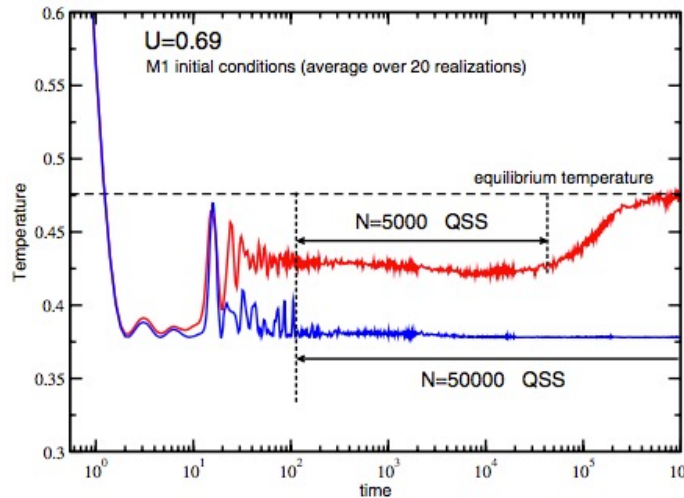


$$S(t) = \left\langle - \sum_{k=1}^n f_k(t) \ln(f_k(t)) \right\rangle$$

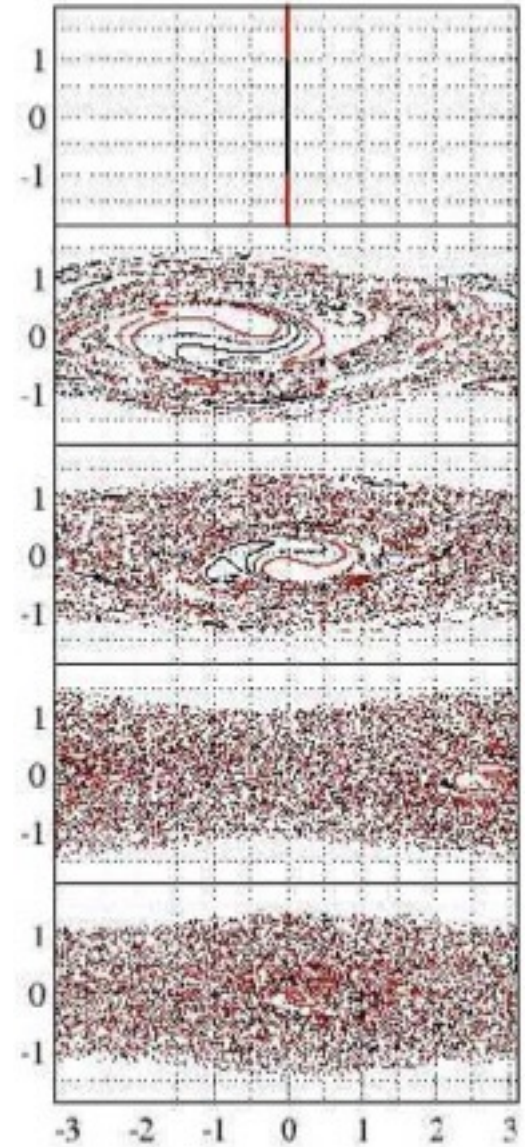
Fig 5 - A. Pluchino, V. Latora and A. Rapisarda



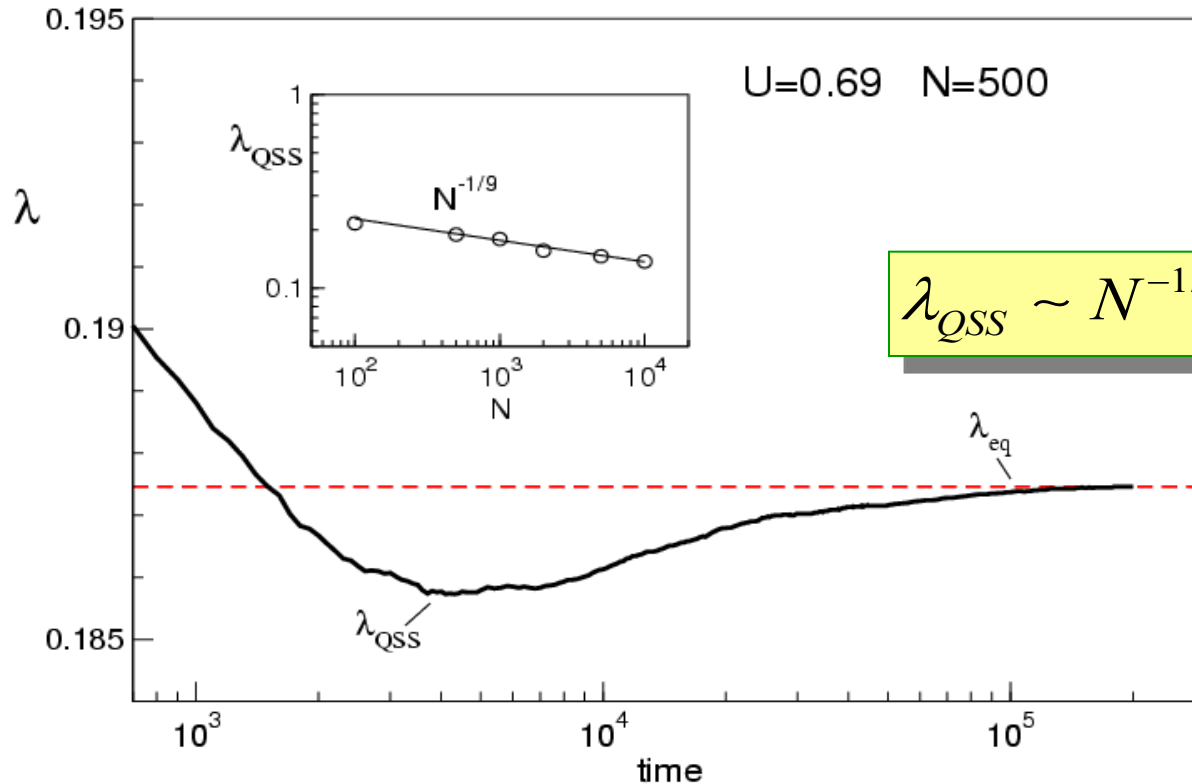
Nei QSS il sistema si mantiene fuori dall'equilibrio in uno stato ad entropia relativamente bassa, che però cresce nel tempo fino a diventare massima all'equilibrio



QSS (NO ergodicity)



L'esponente max. di Lyapunov tende a zero nei QSS

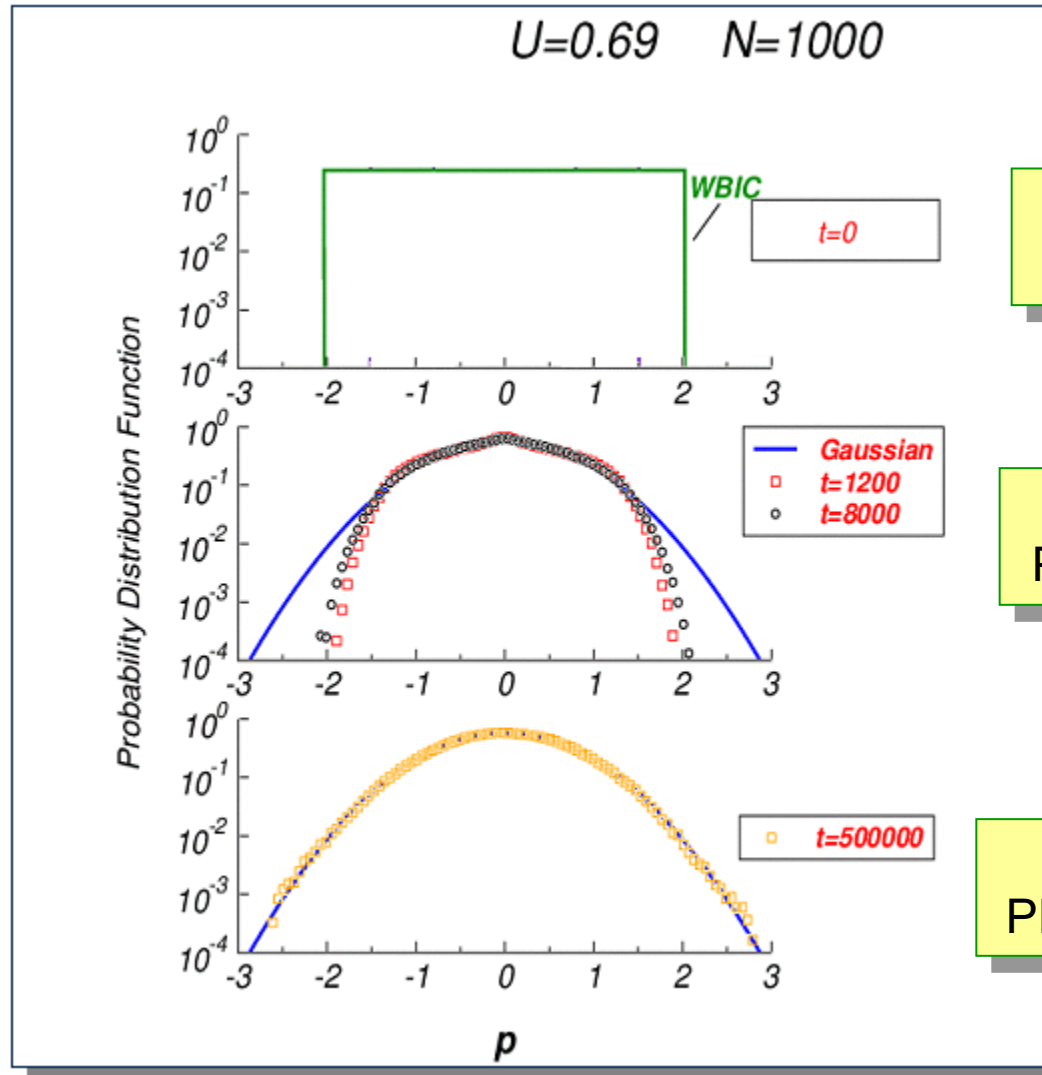


Nel regime QSS
 l'esponente
 massimale di
 Lyapunov tende a
 zero quando la size
 N del sistema tende
 all'infinito, rivelando
 così una situazione
 di "WEAK MIXING".

Questo scaling può essere
 ottenuto dalla relazione...

$$\lambda \propto M^{2/3} \propto (N^{-1/3})^{1/3} = N^{-1/9}$$

Distribuzione di probabilità delle velocità non Gaussiana nei QSS

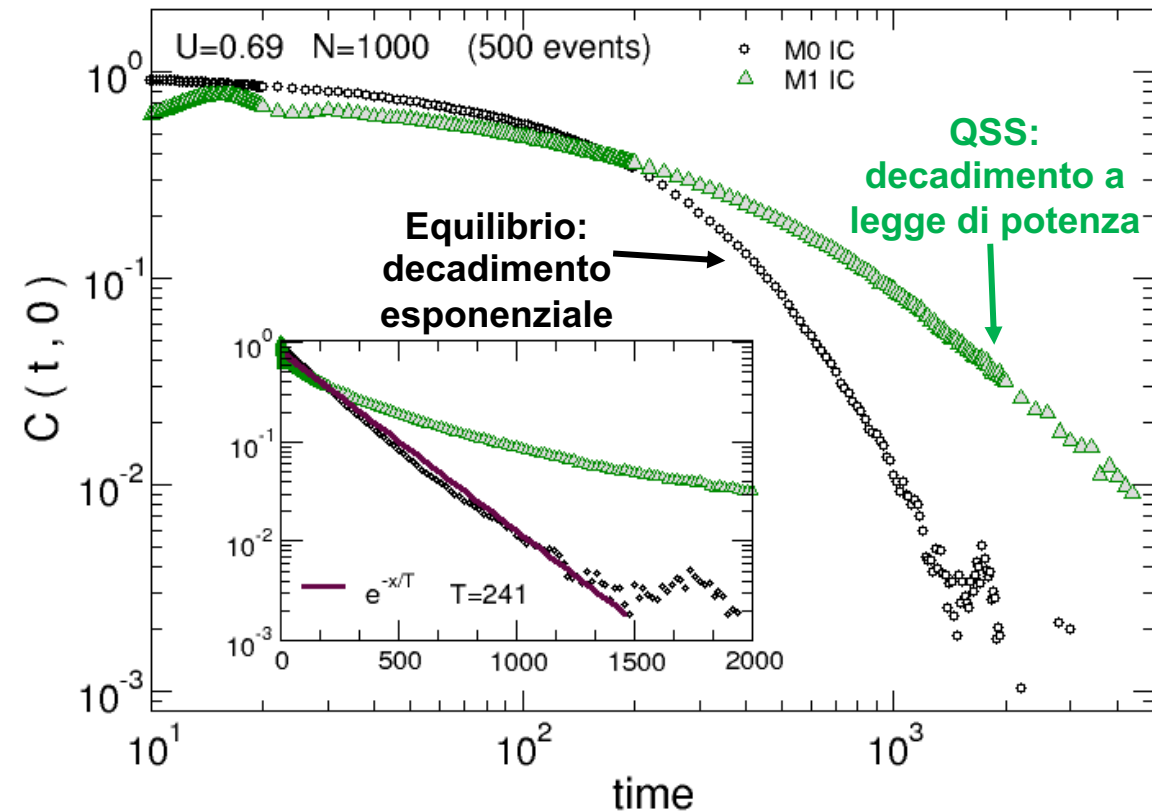


Condizioni iniziali
Water Bag

Regime QSS:
PDF non gaussiana

Equilibrio:
PDF gaussiana (MB)

Correlazioni delle velocità



Funzione di auto-correlazione delle velocità

$$C(t,0) = \frac{\langle \mathbf{P}(t)\mathbf{P}(0) \rangle - \langle \mathbf{P}(t) \rangle \langle \mathbf{P}(0) \rangle}{\sigma(t)\sigma(0)}$$

dove:

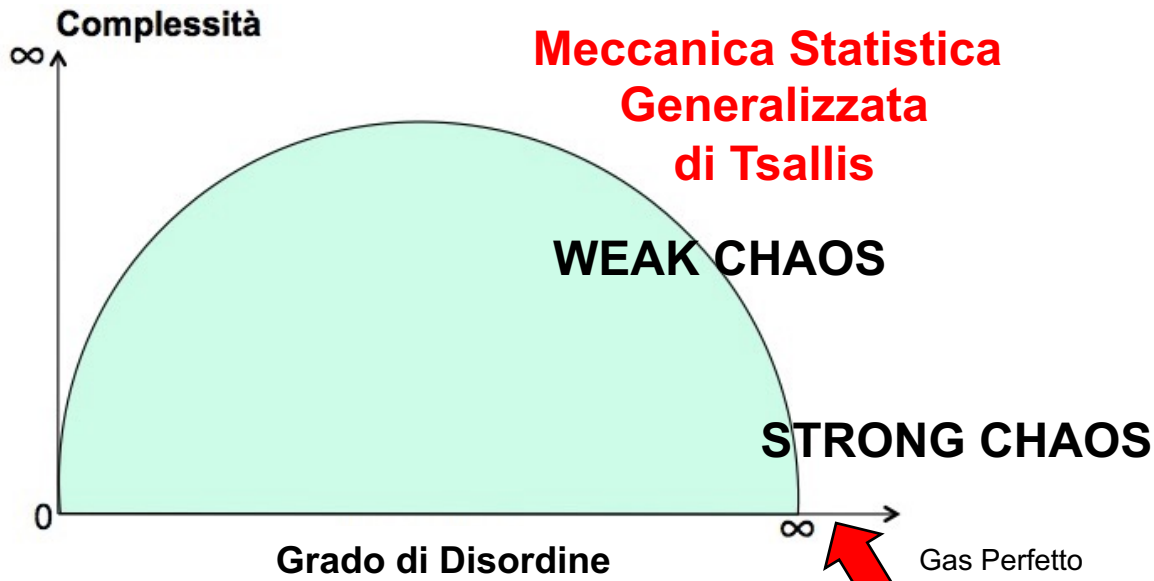
$$\mathbf{P}(t) = (p_1, p_2, \dots, p_N)$$

è il **vettore velocità**, le parentesi angolari indicano una media sugli eventi, e $\sigma(t)$ è la deviazione standard al tempo t .

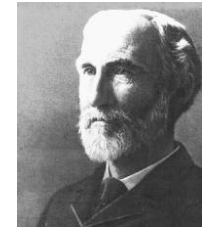
La Legge di Potenza



Tutti gli indizi conducono verso verso una Meccanica Statistica generalizzata....

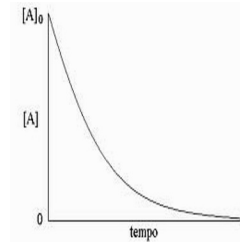
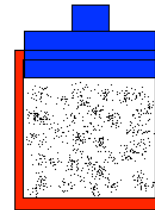


**Meccanica Statistica
Generalizzata
di Tsallis**

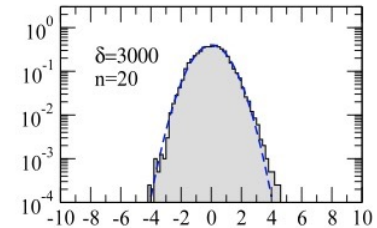


**Meccanica Statistica di
Boltzmann-Gibbs**

Gas Perfetto



ESPONENZIALE



GAUSSIANA